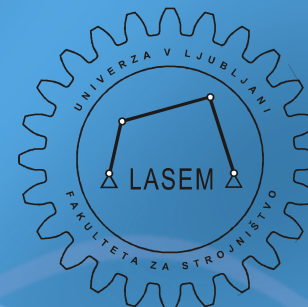


Univerza v Ljubljani  
Fakulteta za strojništvo



Katedra za strojne elemente in razvojna vrednotenja

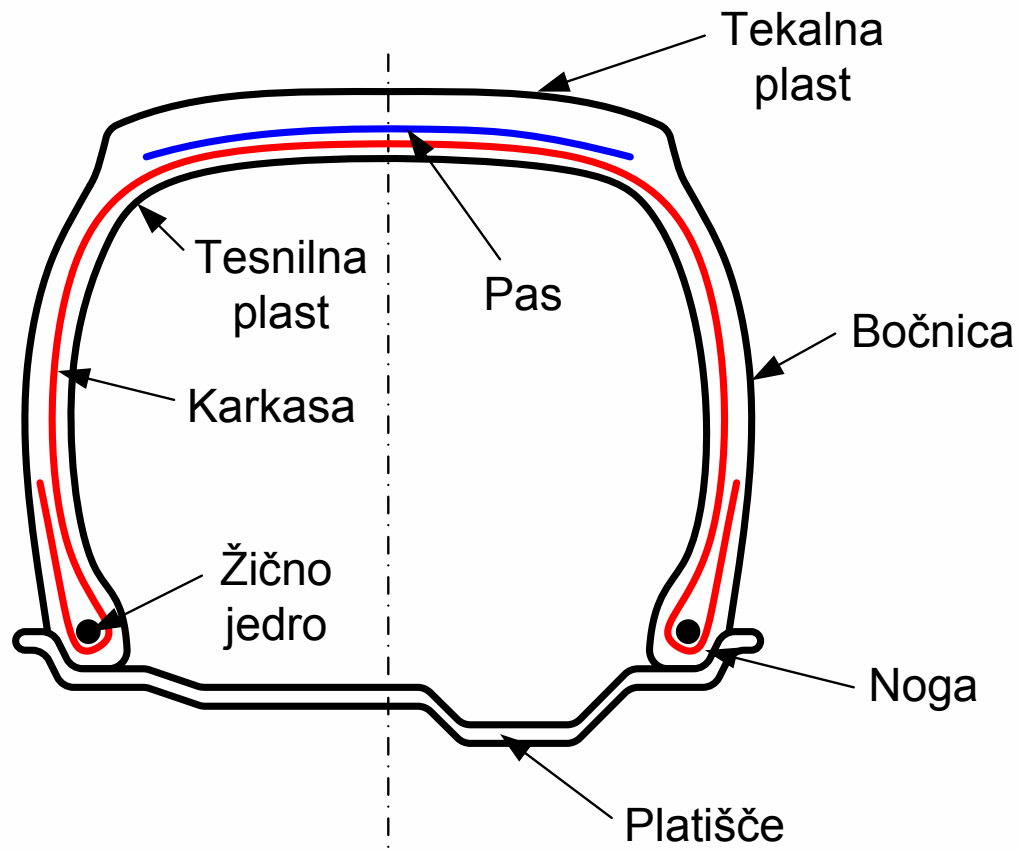


# DINAMIKA VOZIL – Pnevmatike in diferencial

Prof. dr. Jernej Klemenc

Design by B

# Konstrukcija radialne pnevmatike



# Označevanje pnevmatik

## ■ 6,40-13/6 PR:

- Diagonalna pnevmatika
- Širina pnevmatike: 6,40"
- Premer platišča: 13"
- Višina pnevmatike: 0,95 (superbalon za D) \* 6,40"
- Indeks nosilnosti: PR6
- Simbol hitrosti: - (najvišja hitrost = 150 km/h)

## ■ 265/50 R 14 101 V:

- Radialna (R) pnevmatika
- Širina pnevmatike: 265 mm
- Premer platišča: 14"
- Višina pnevmatike: 0,50 \* 265 mm
- Indeks nosilnosti: 101
- Simbol hitrosti: V (najvišja hitrost = 240 km/h)



# Označevanje pnevmatik

## ■ Simboli hitrosti za pnevmatike:

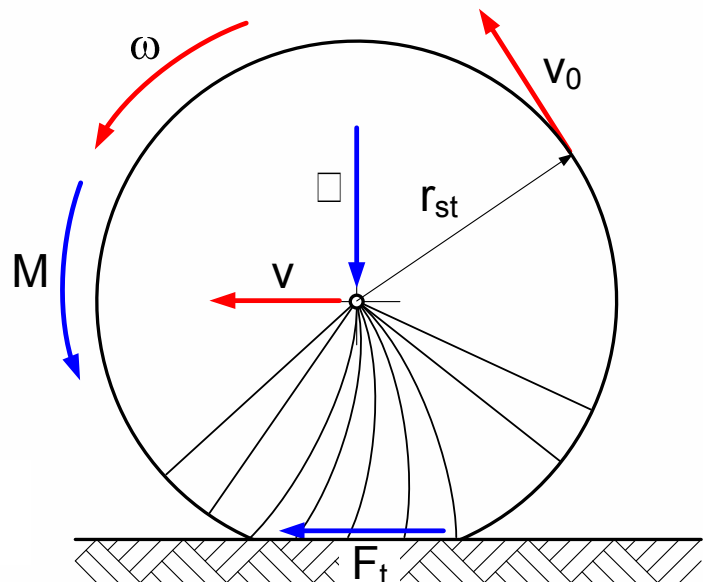
- P => 150 km/h
- Q => 160 km/h
- S => 180 km/h
- T => 190 km/h
- H => 210 km/h
- V => 240 km/h
- W => 270 km/h
- □R=> nad 270 km/h

## ■ Indeks nosilnosti za pnevmatike:

- 76 => 400 kg
- 77 – 83 =>  $400 \text{ kg} + i * 12,5 \text{ kg}$  ( $i = \text{število indeksov nad 76}$ )
- 84 => 500 kg
- >84 =>  $500 \text{ kg} + i * 15 \text{ kg}$  ( $i = \text{število indeksov nad 84}$ )



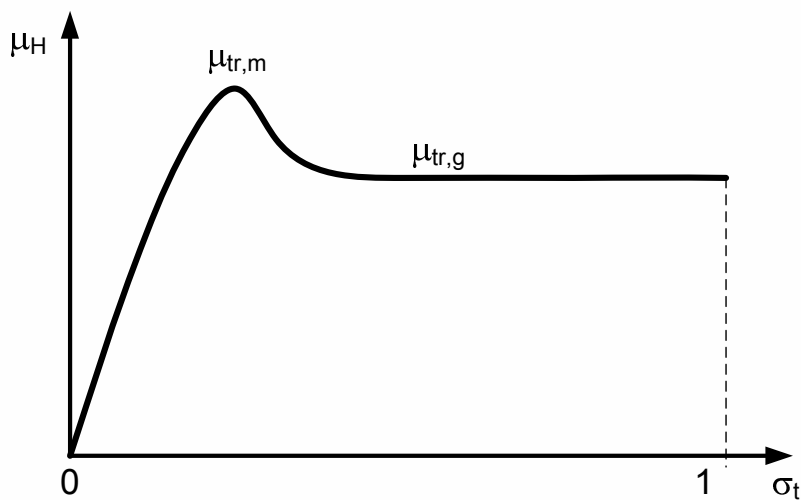
# Pnevmatika kot torno gonilo - pospeševanje



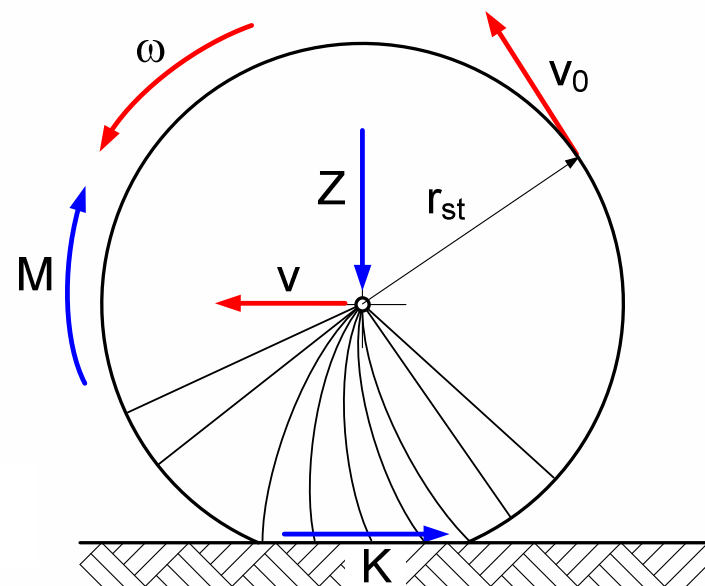
$$\mu_h = \frac{F_k}{Z}$$

$$\sigma_t = \frac{v_0 - v}{v_0}$$

$$M = \mu_H \cdot Z \cdot r_{st} = \mu_H \cdot \text{konst}$$



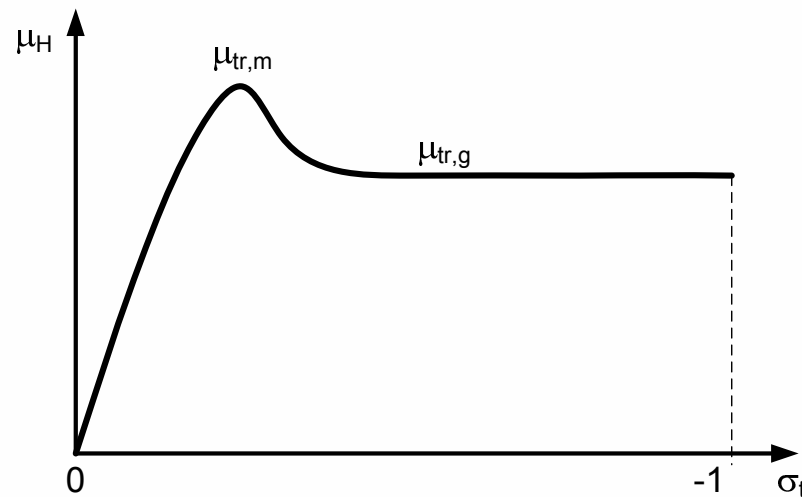
# Pnevmatika kot torno gonilo - zaviranje



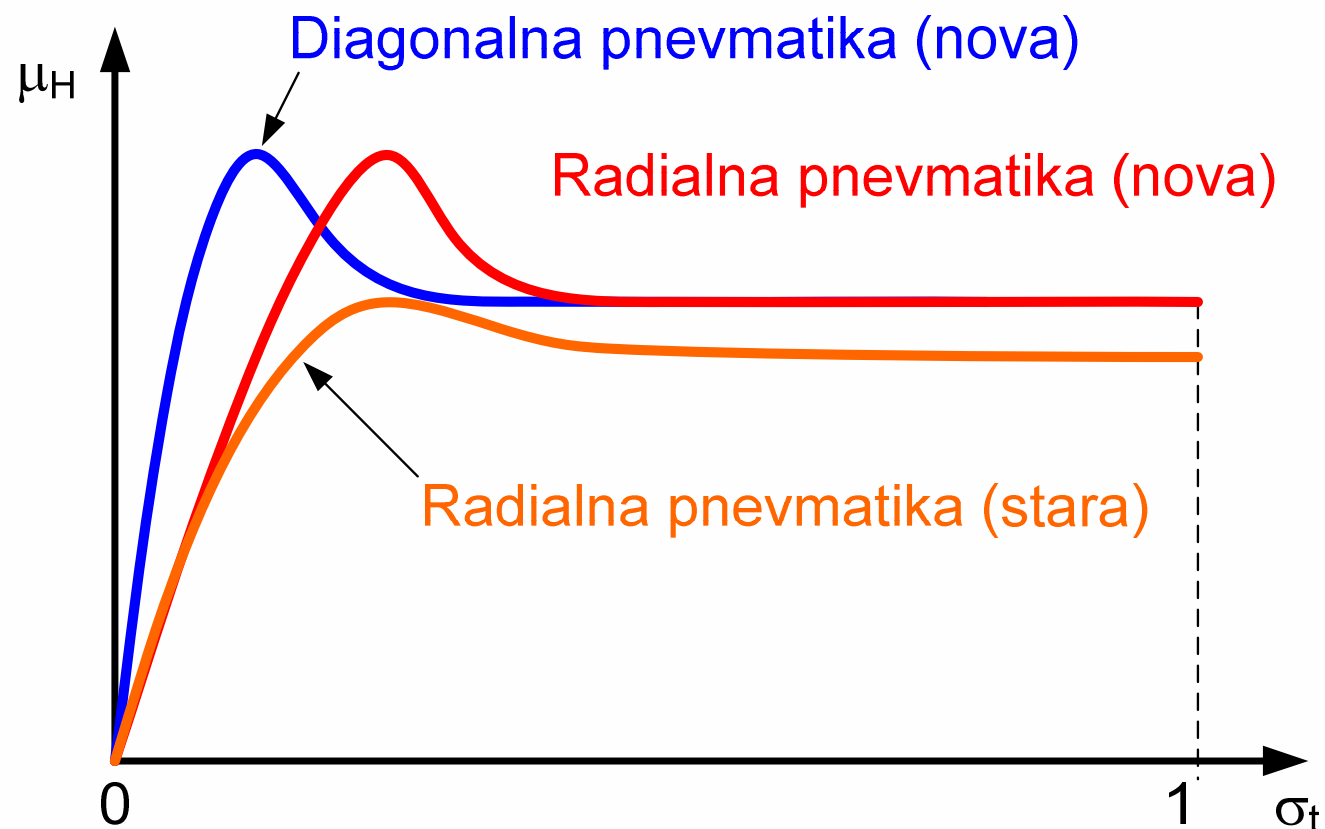
$$\mu_h = \frac{K}{Z}$$

$$\sigma_t = \frac{v_0 - v}{v}$$

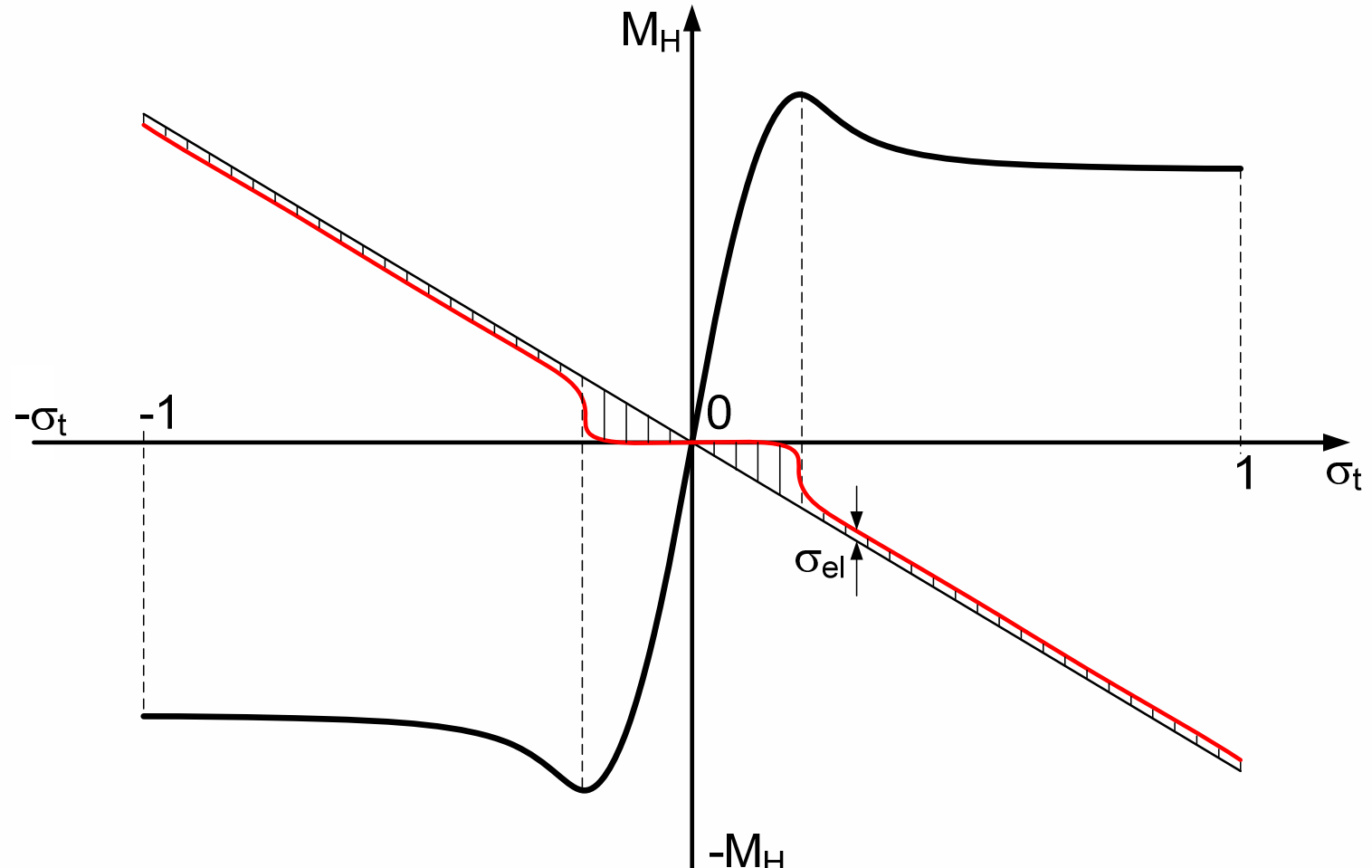
$$M = \mu_H \cdot Z \cdot r_{st} = \mu_H \cdot \text{konst}$$



# Sojemalni diagram za radialne in diagonalne pnevmatike



# Sojemalni diagram za pospeševanje in zaviranje



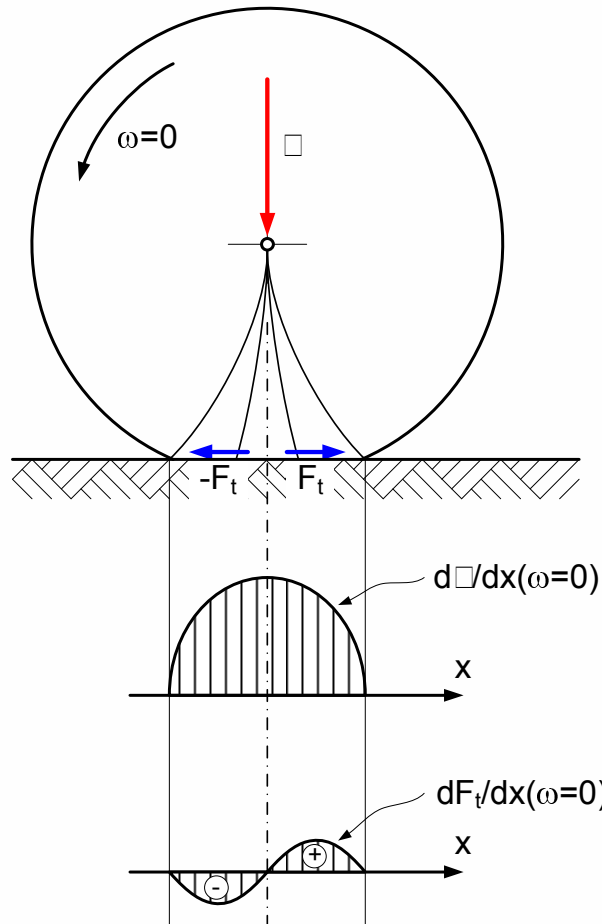
Univerza v Ljubljani  
Fakulteta za strojništvo



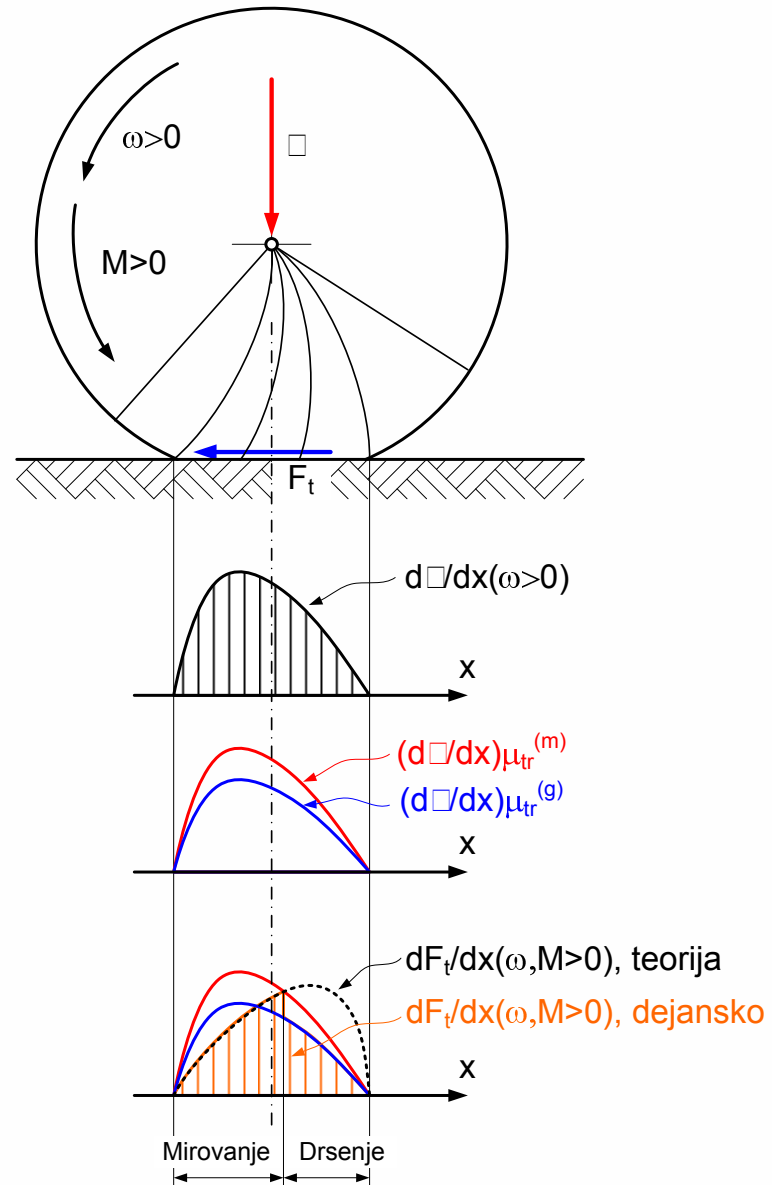
Katedra za strojne elemente  
in razvojna vrednotenja

# Mikro-kontakt pnevmatike in vozne površine - pospeševanje

Pnevmatika v stanju mirovanja

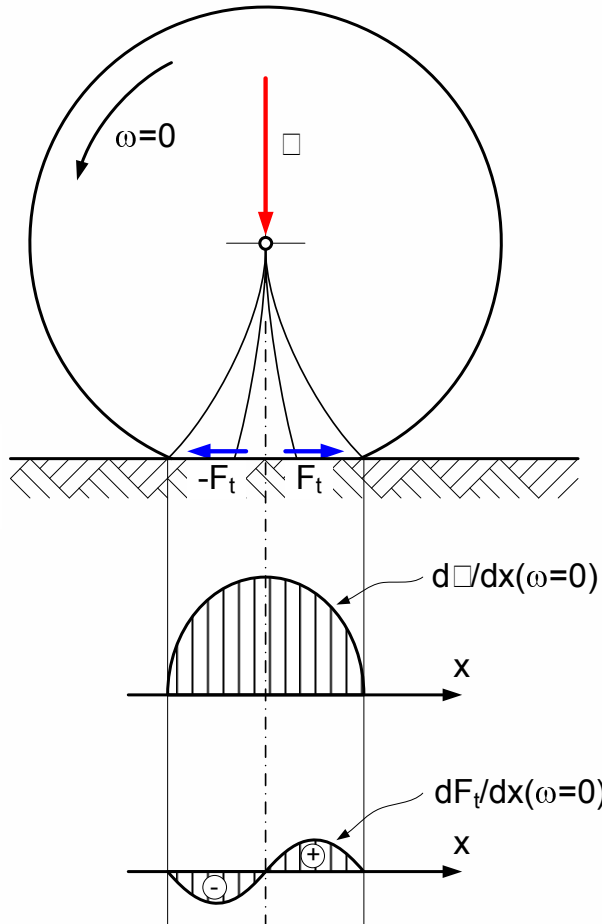


Pnevmatika med pospeševanjem

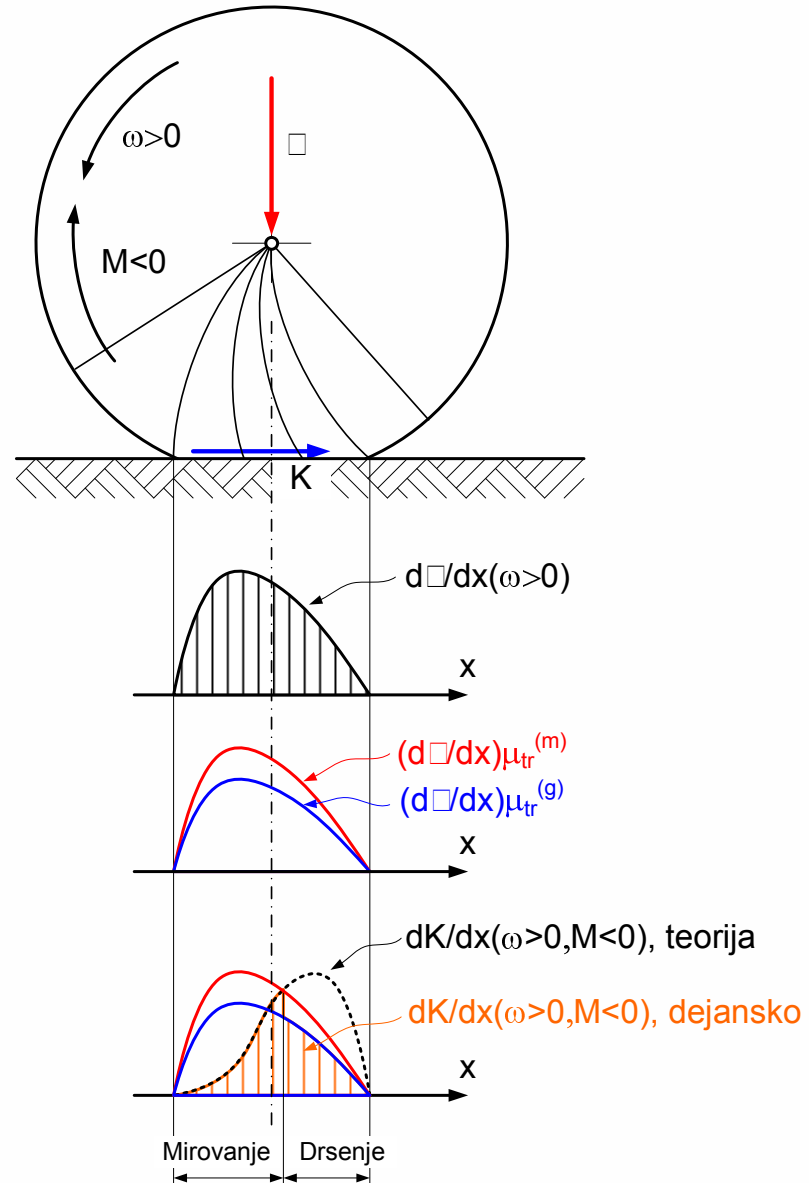


# Mikro-kontakt pnevmatike in vozne površine - zaviranje

Pnevmatika v stanju mirovanja

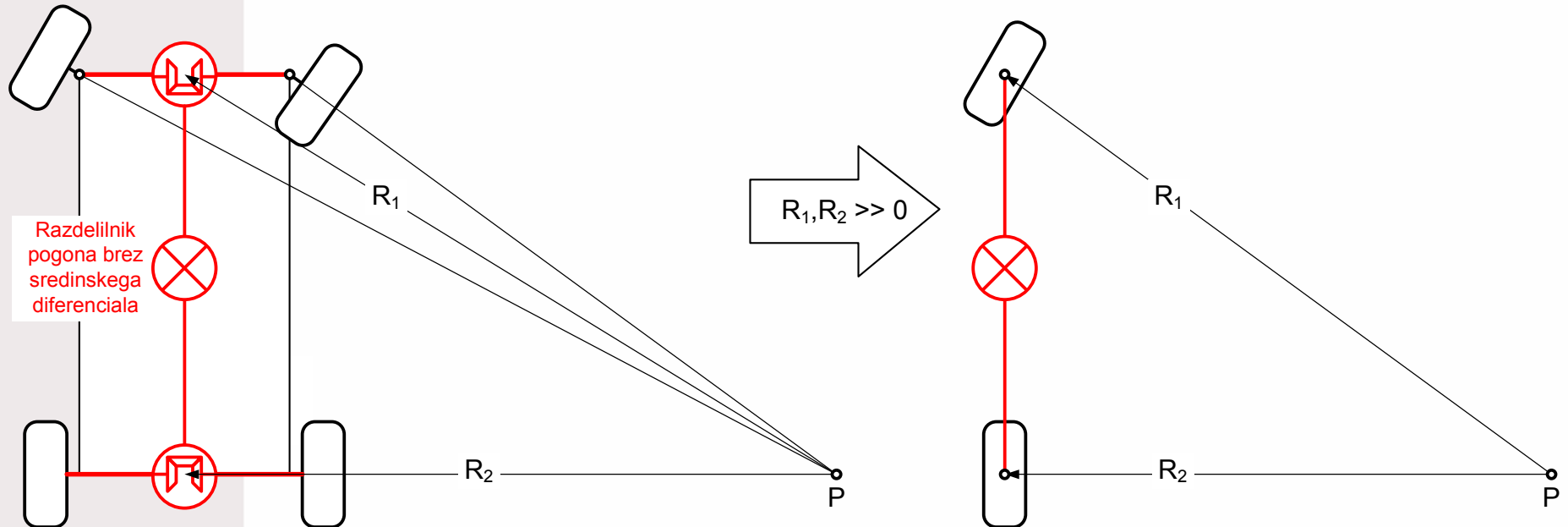


Pnevmatika med zaviranjem



# Pogon 4x4

- Sredinski razdelilnik pogona brez diferenciala na trdi podlagi:



- Teoretične obodne hitrosti koles pri vožnji v ovinek:

$$v_{1,0} = \omega_{1,0} \cdot r_{st} \propto R_1 > v_{2,0} = \omega_{2,0} \cdot r_{st} \propto R_2$$

- Dejanske obodne hitrosti koles in vrtilni momenti:

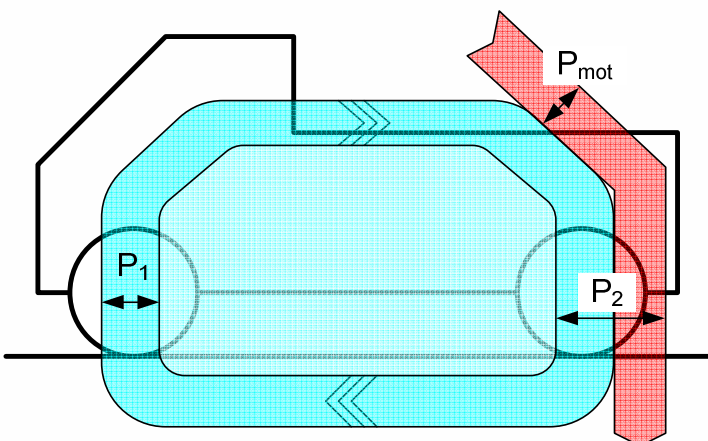
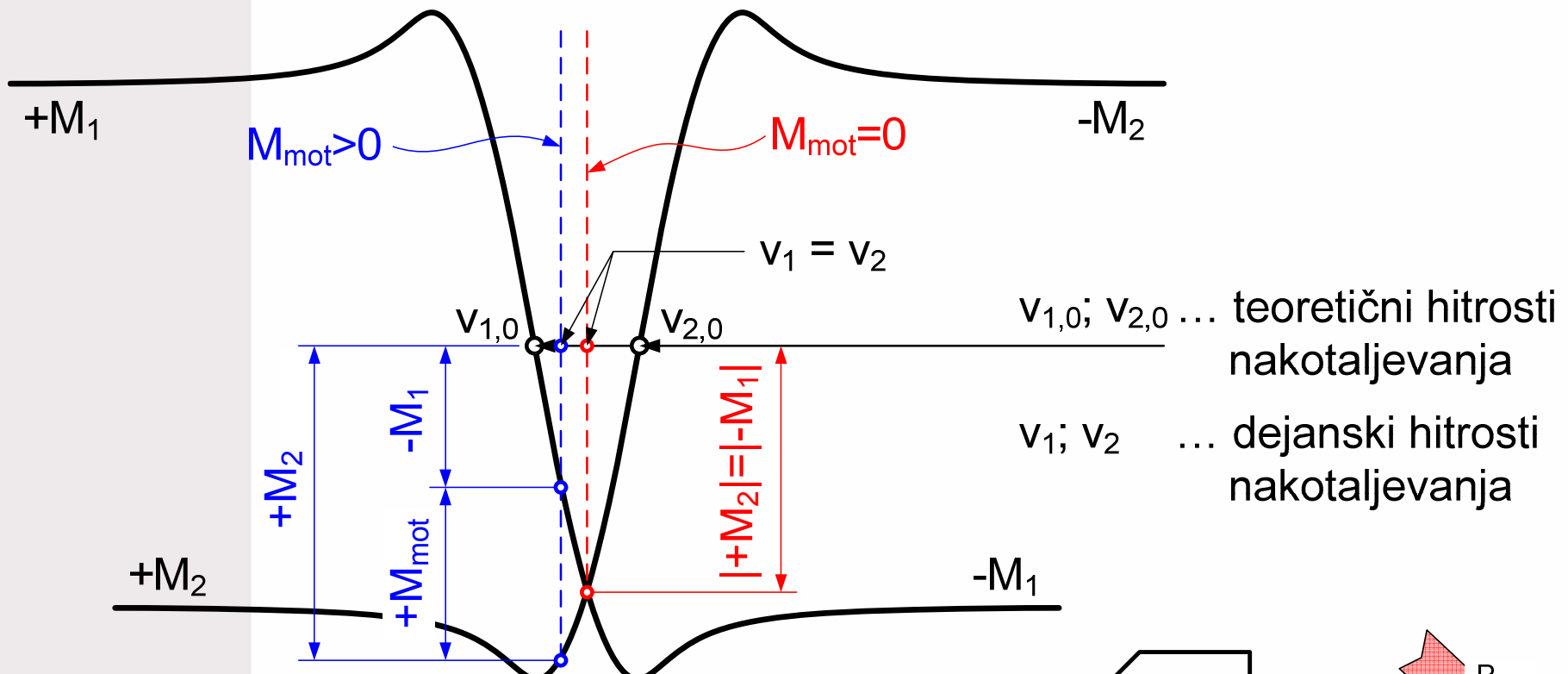
$$v_1 = v_2$$

$$M_1 \neq M_2$$



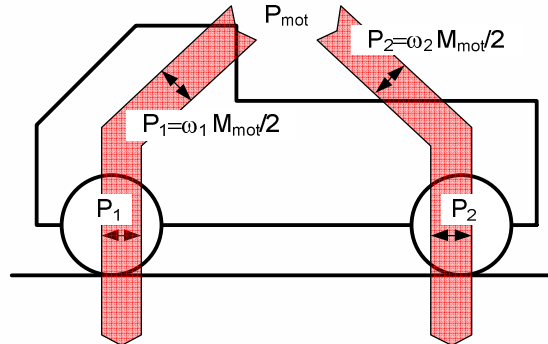
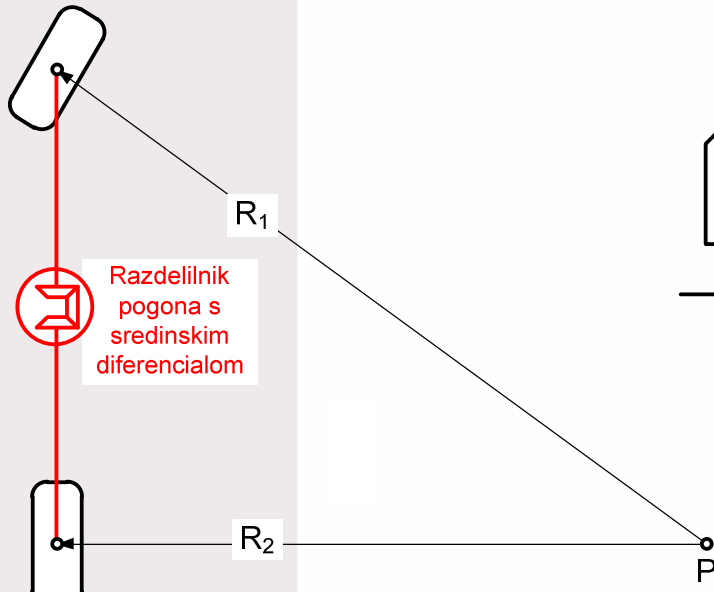
# Pogon 4x4

- Sredinski razdelilnik pogona brez diferenciala na trdi podlagi:



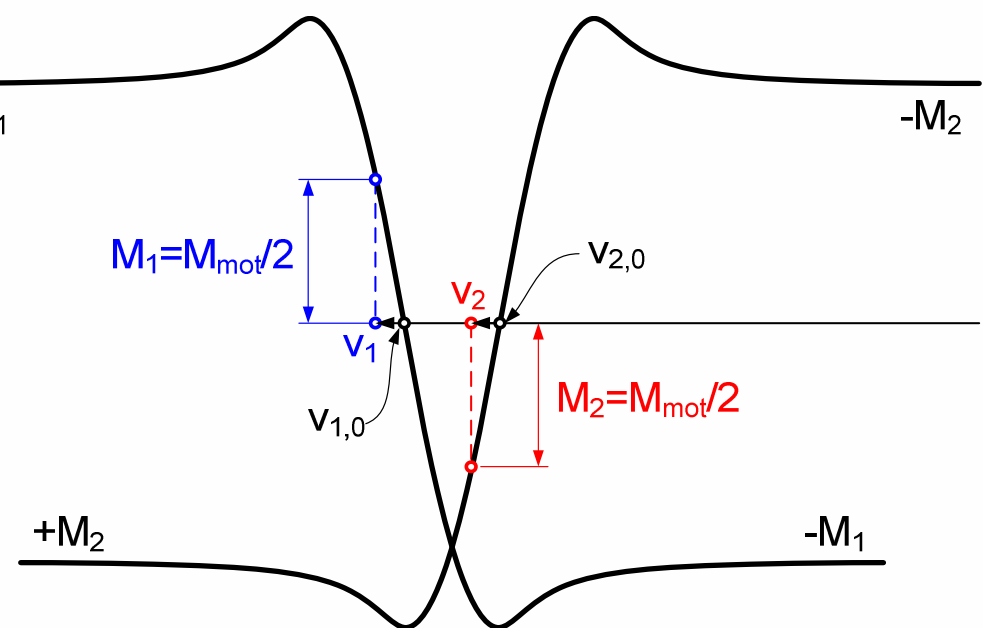
# Pogon 4x4

- Sredinski razdelilnik pogona z diferencialom na trdi podlagi:



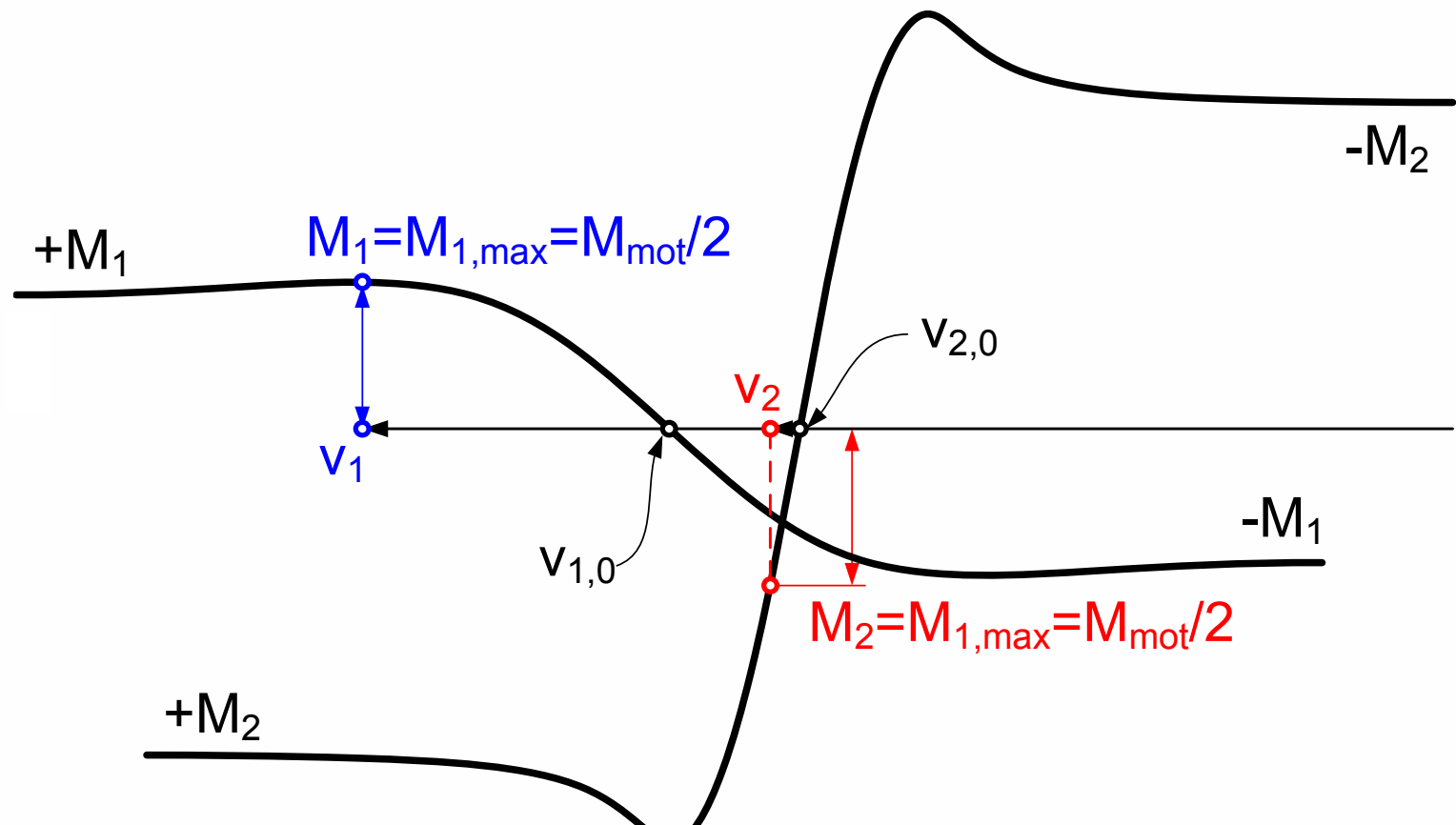
$$v_1 = \omega_1 \cdot r_{st} \propto R_1 > v_2 = \omega_2 \cdot r_{st} \propto R_2$$

$$M_1 = M_2 = \frac{M_{mot}}{2}$$



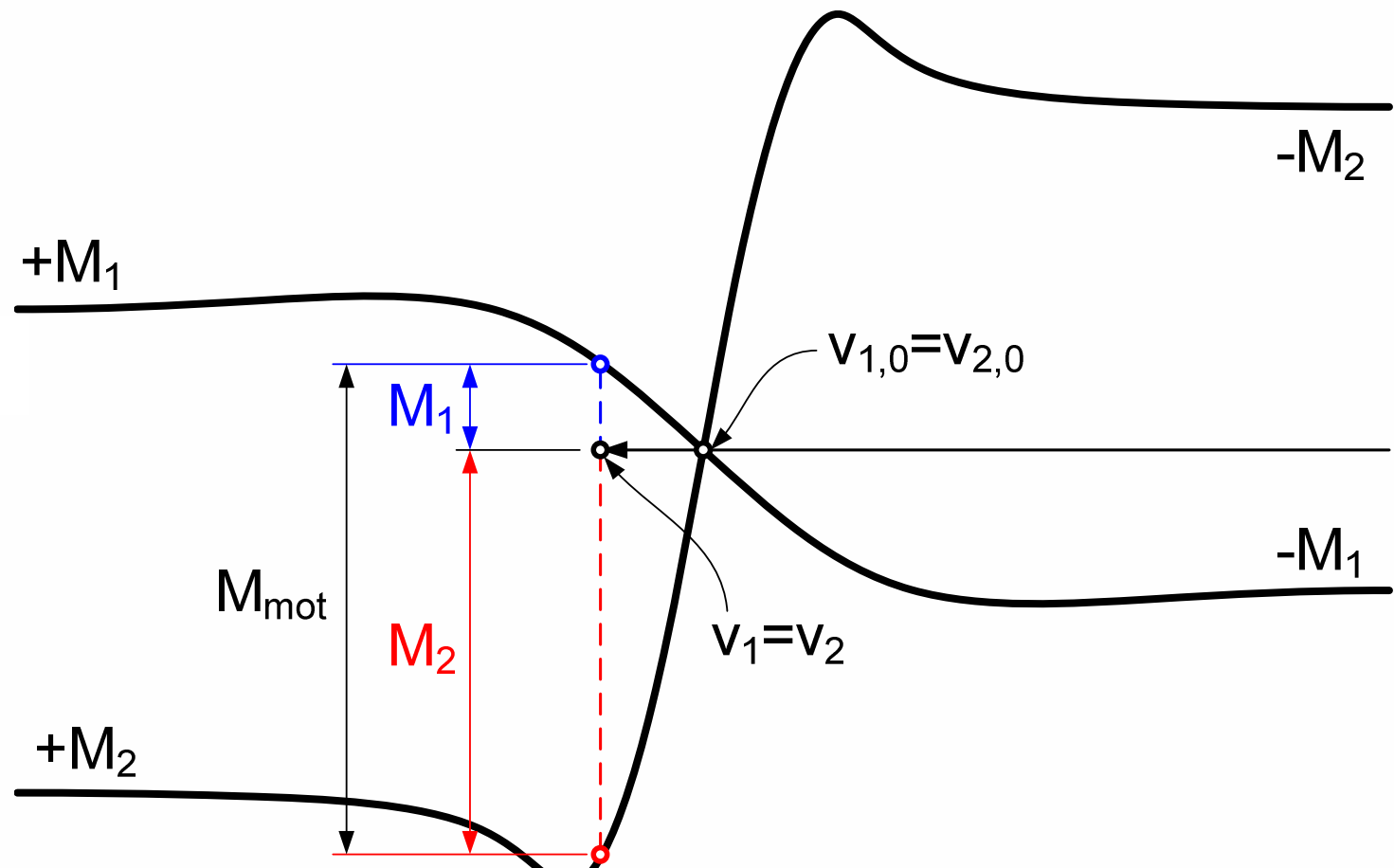
## Pogon 4x4

- Sredinski razdelilnik pogona z diferencialom – trda podlaga zadaj, mehka podlaga spredaj, vožnja naravnost:

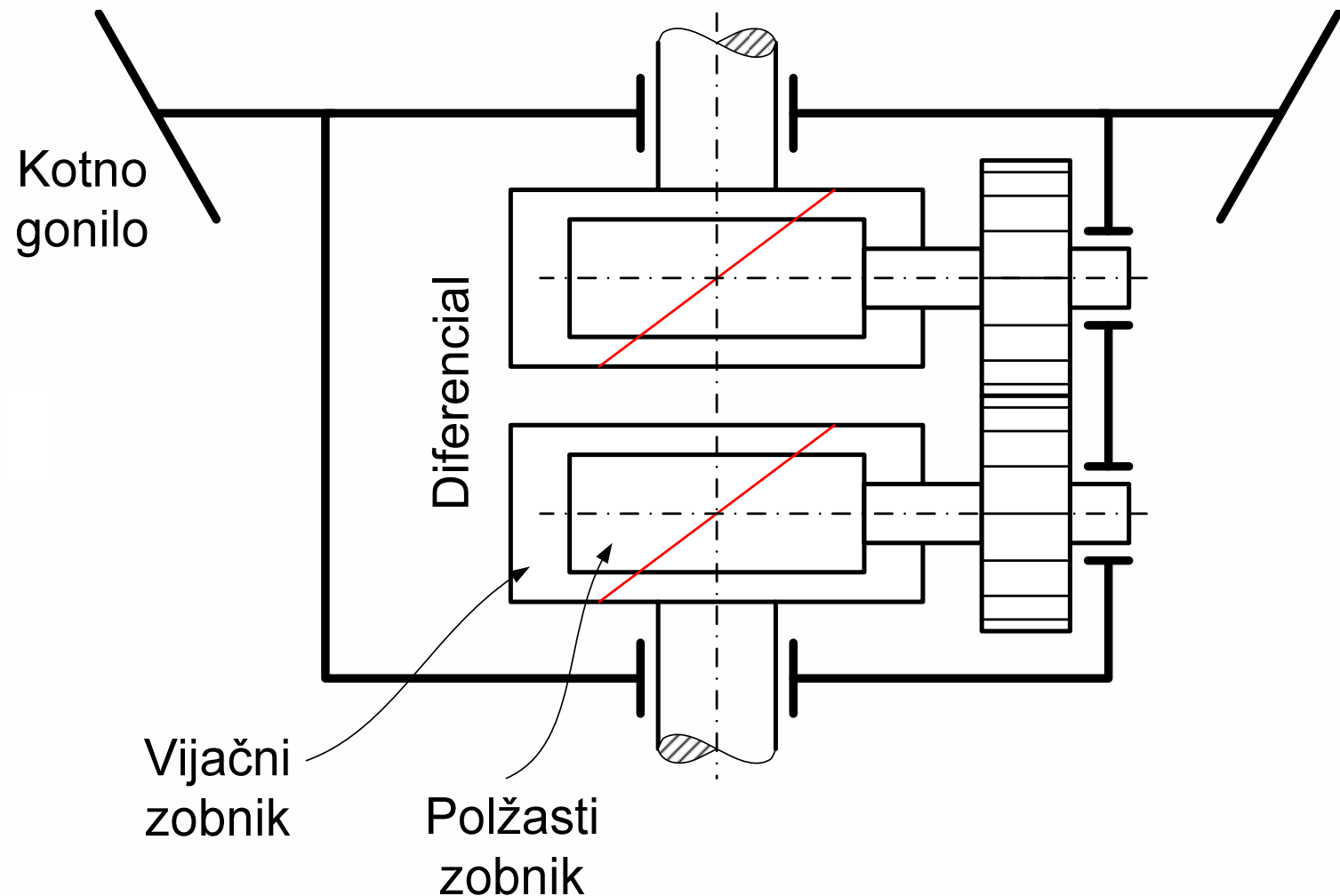


## Pogon 4x4

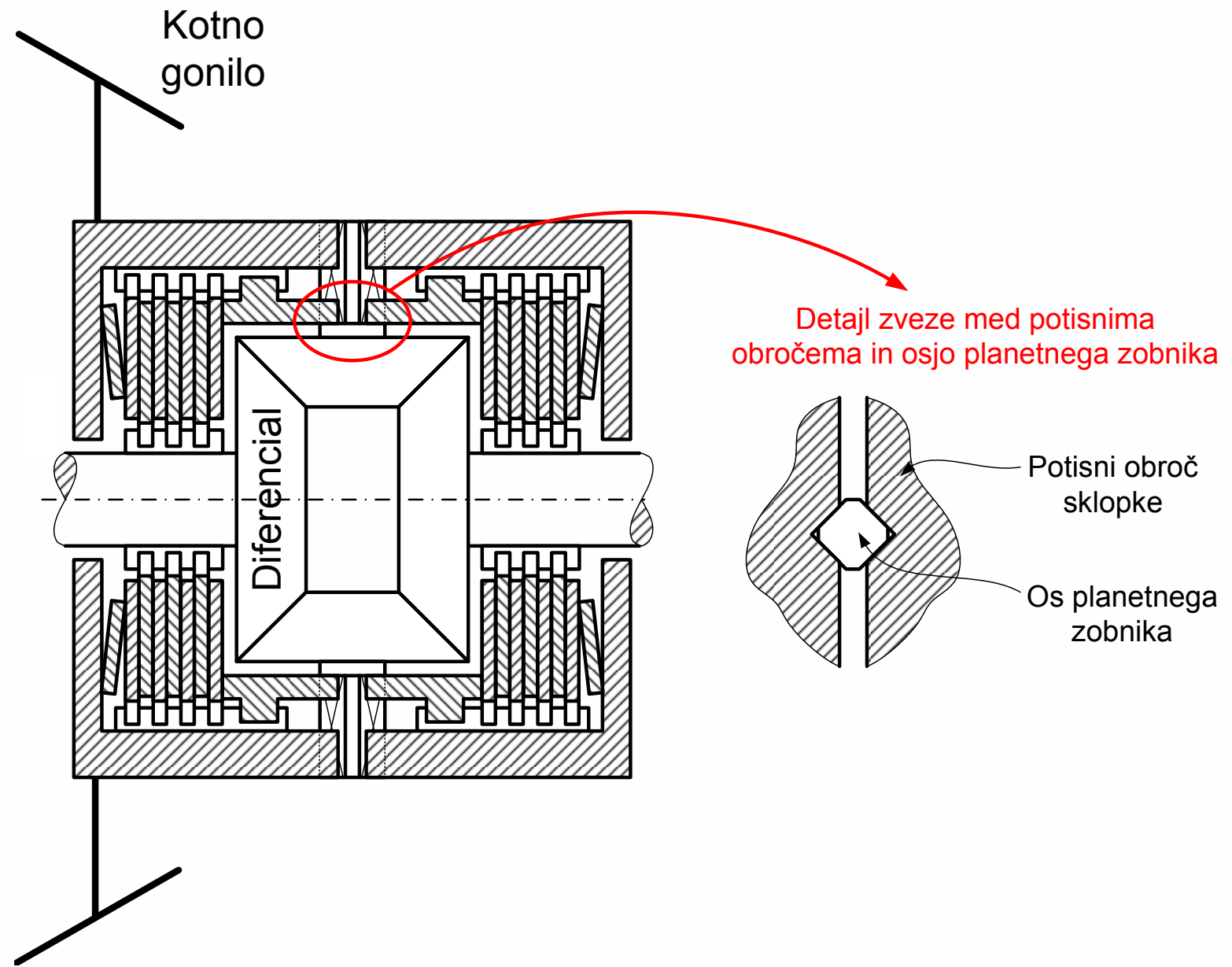
- Sredinski razdelilnik pogona brez diferenciala – trda podlaga zadaj, mehka podlaga spredaj:



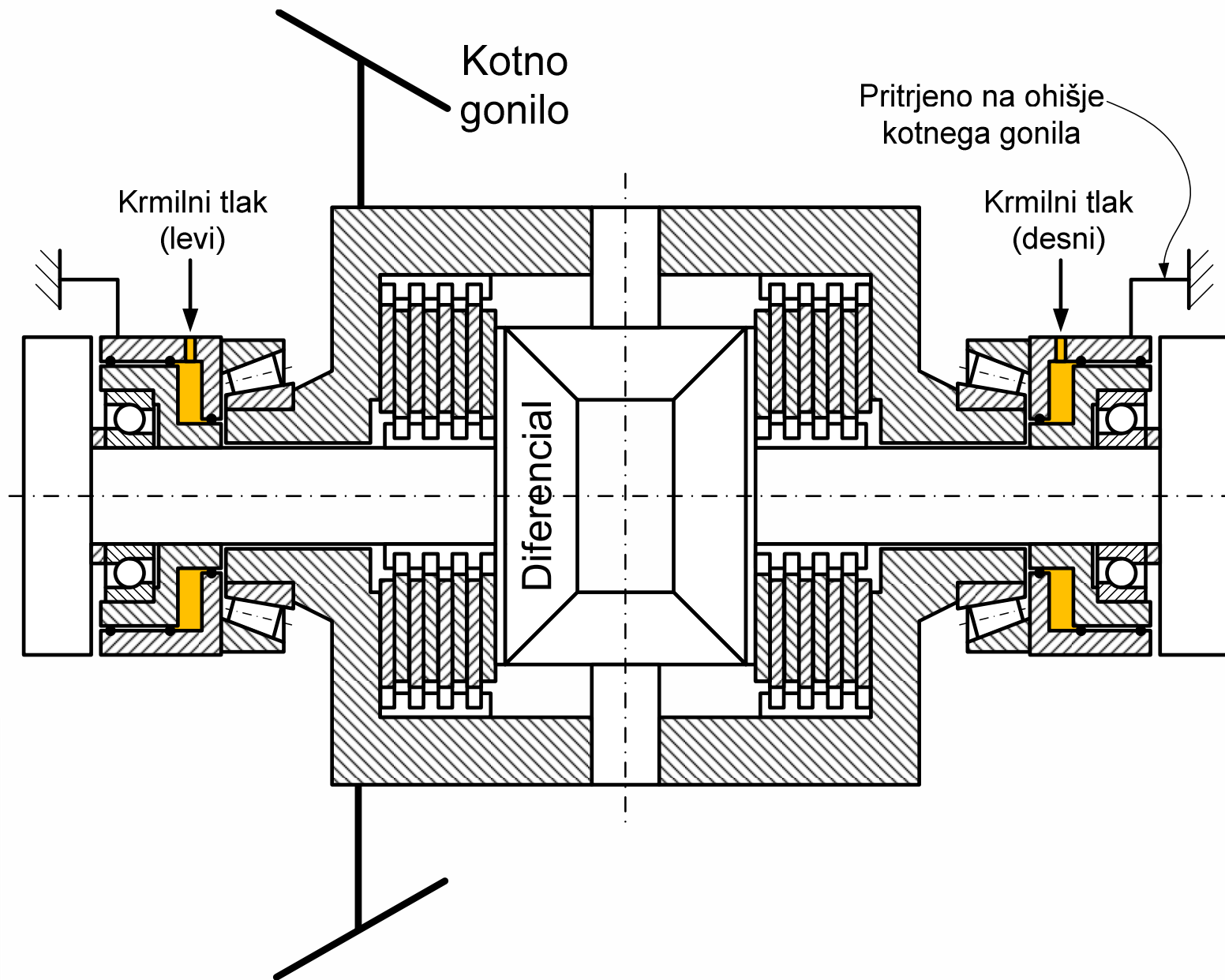
# TORSEN diferencial



# Mehanski samozaporni diferencial z lamelami

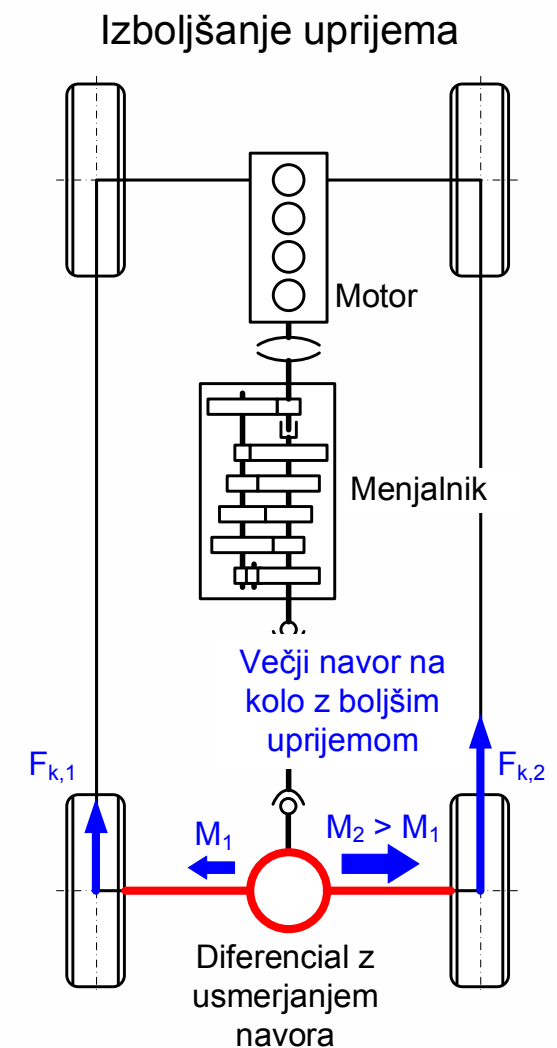
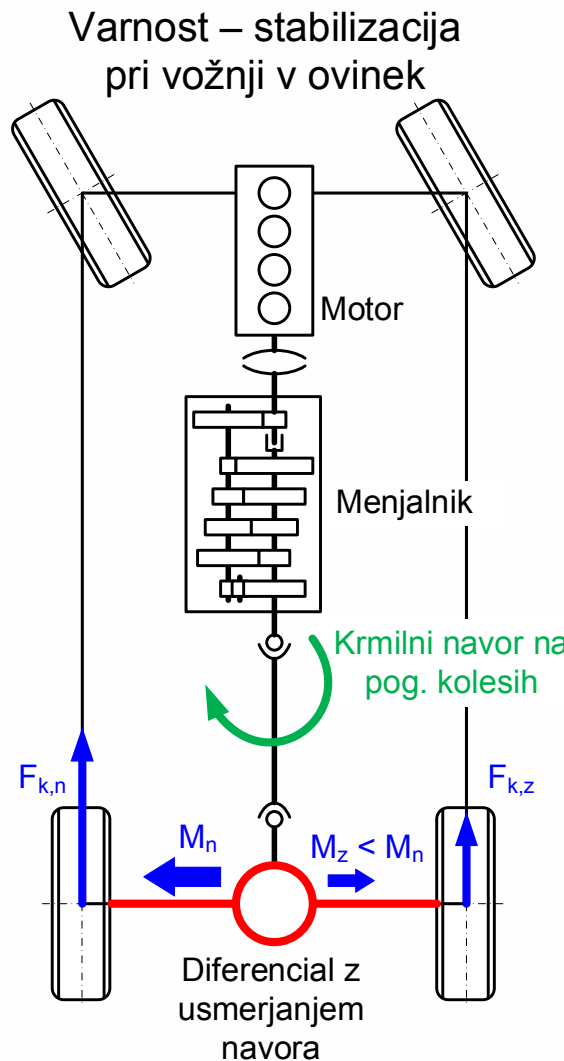
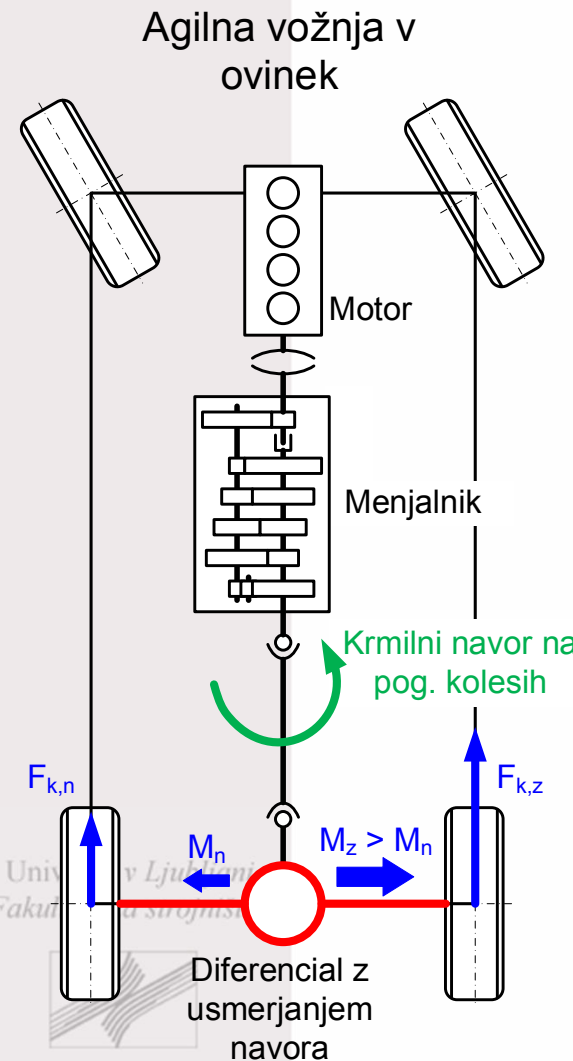


# Avtomatski samozaporni diferencial z lamelami - ASD



# Diferencial z usmerjanjem navora (Torque vectoring differential)

## ■ Namen:

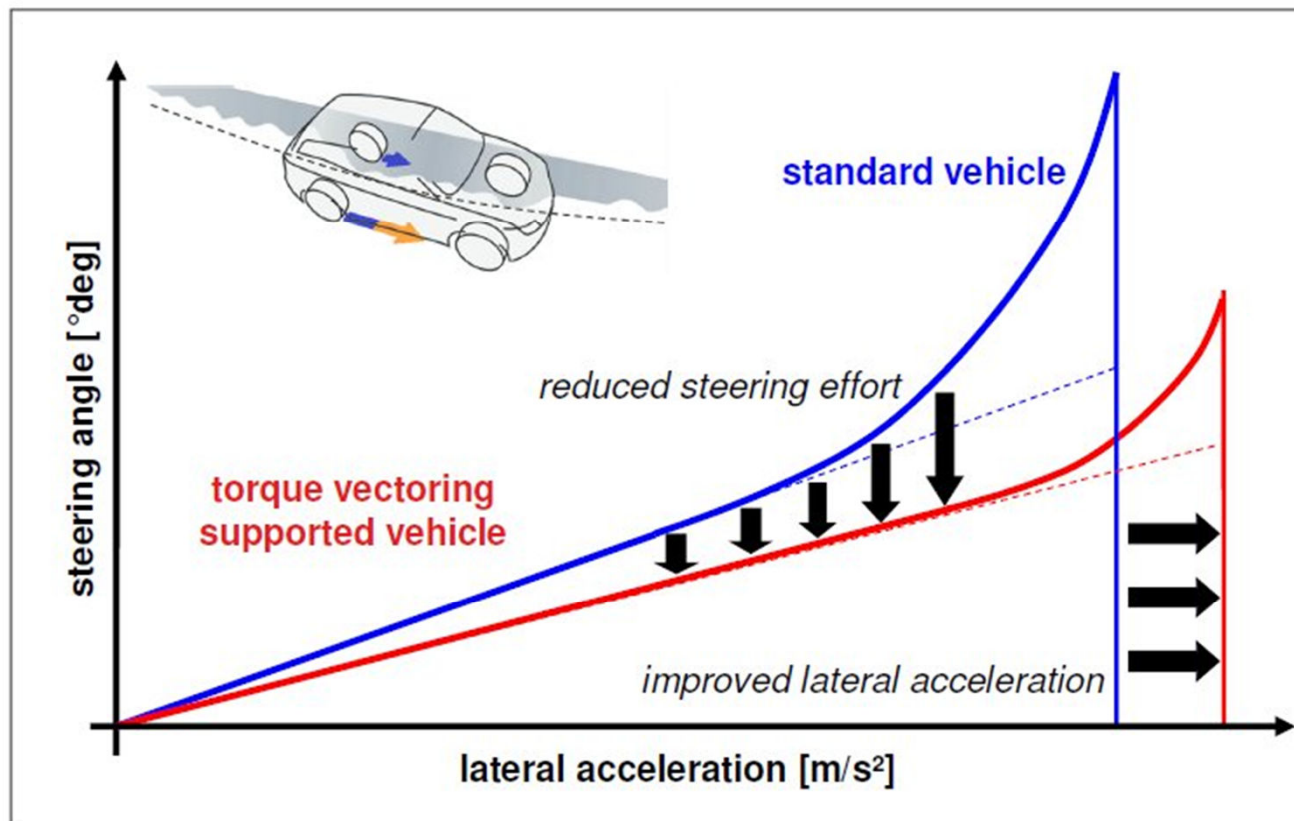


# Diferencial z usmerjanjem navora

- Učinek na vožnjo v ovinek:

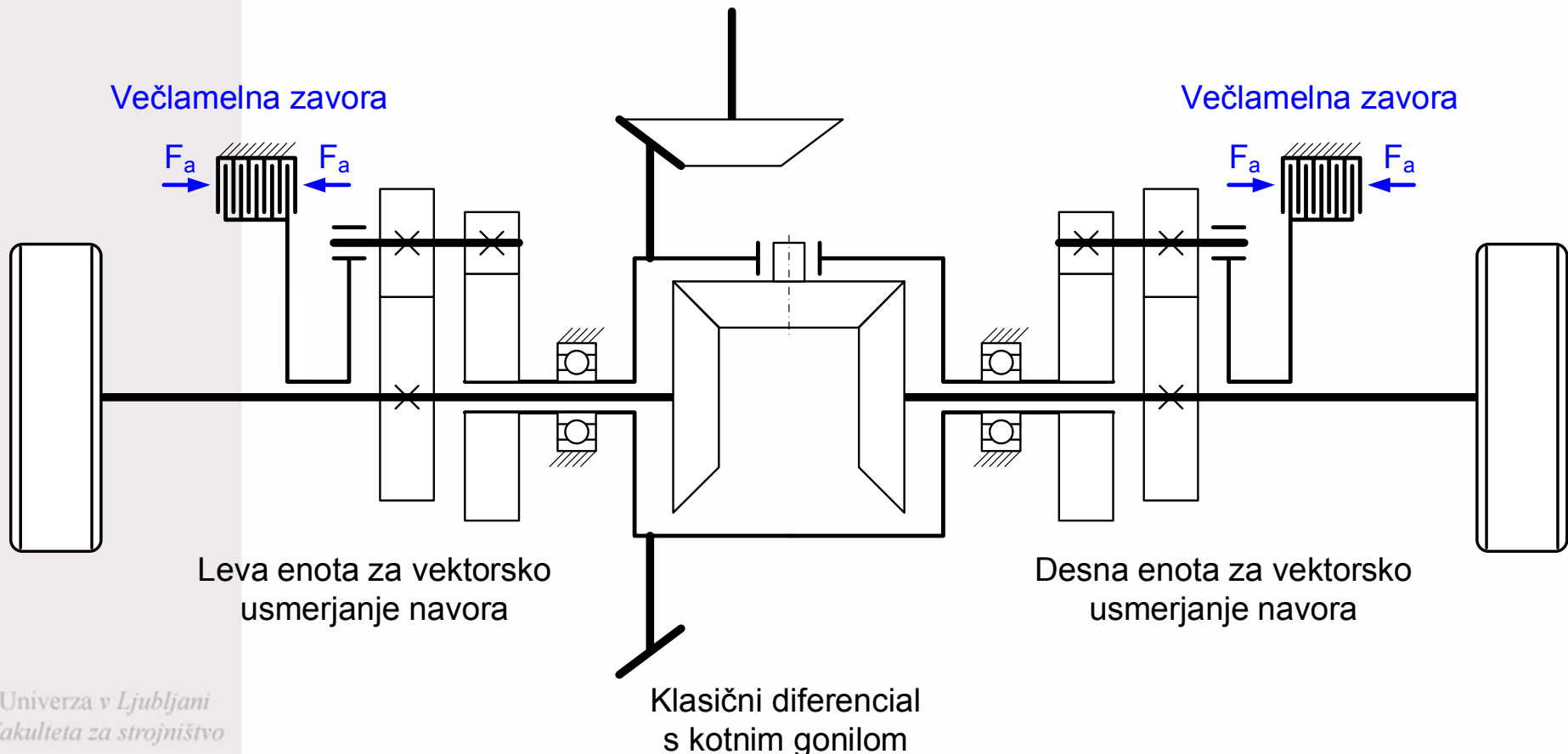


Influence of torque vectoring on the self-steering effect



# Diferencial z usmerjanjem navora

- Funkcionalni sestav diferenciala **ZF Vector drive**:



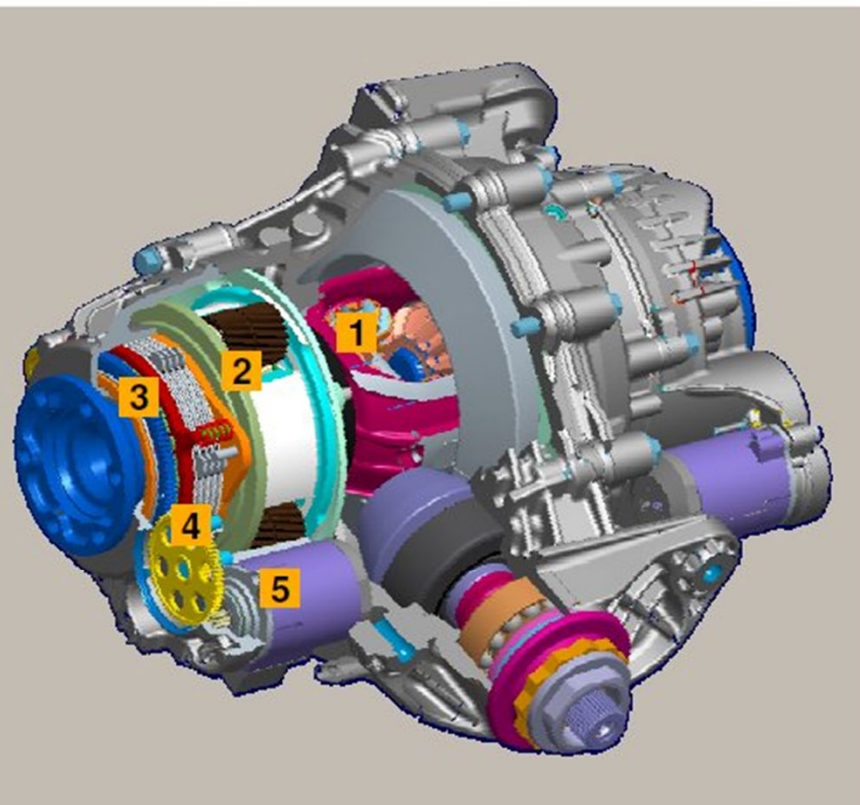
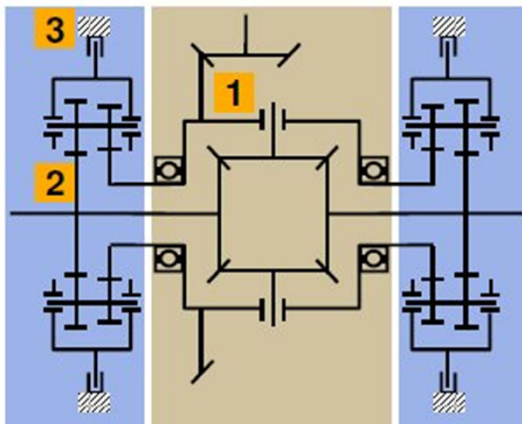
# Diferencial z usmerjanjem navora

## ■ Praktična izvedba:



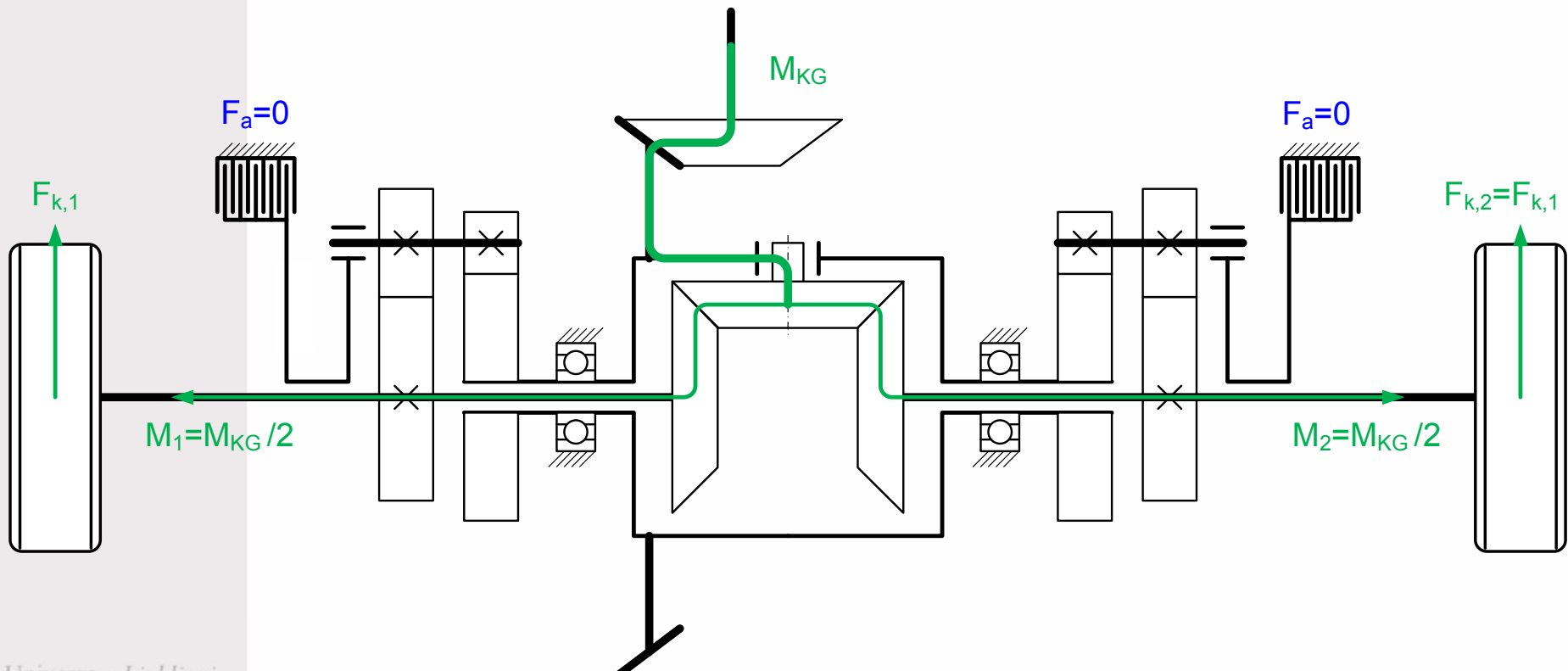
### ZF Vector Drive Unit-Layout

- 1 Differential and Hypoid gear
- 2 Planetary-Drive
- 3 Disk-Brake
- 4 Actuation
- 5 Electric-Motor



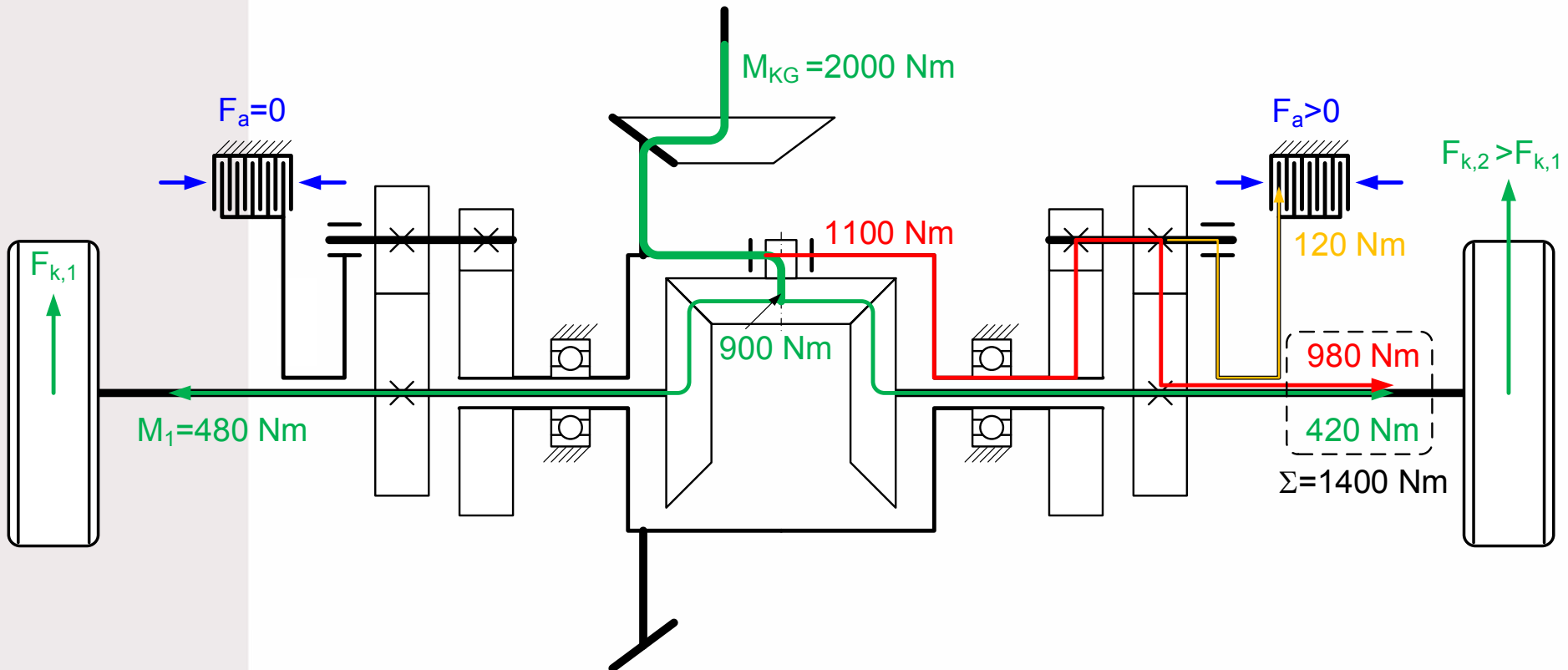
# Diferencial z usmerjanjem navora

- Princip delovanja brez vektorskega usmerjanja navora:



# Diferencial z usmerjanjem navora

- Princip delovanja z vektorskim usmerjanjem navora:

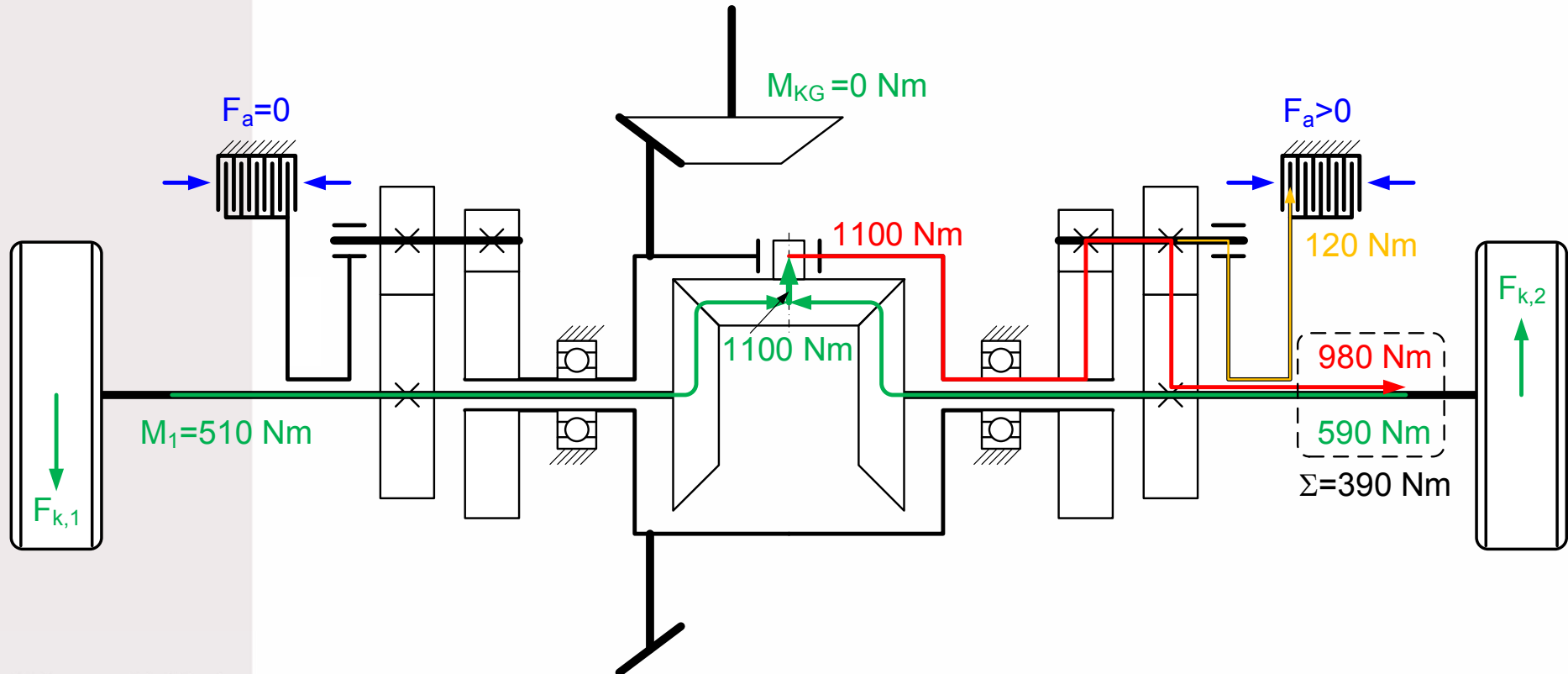


Univerza v Ljubljani  
Granzow 2013, str. 10.



# Diferencial z usmerjanjem navora

- Princip delovanja z vektorskim usmerjanjem navora:

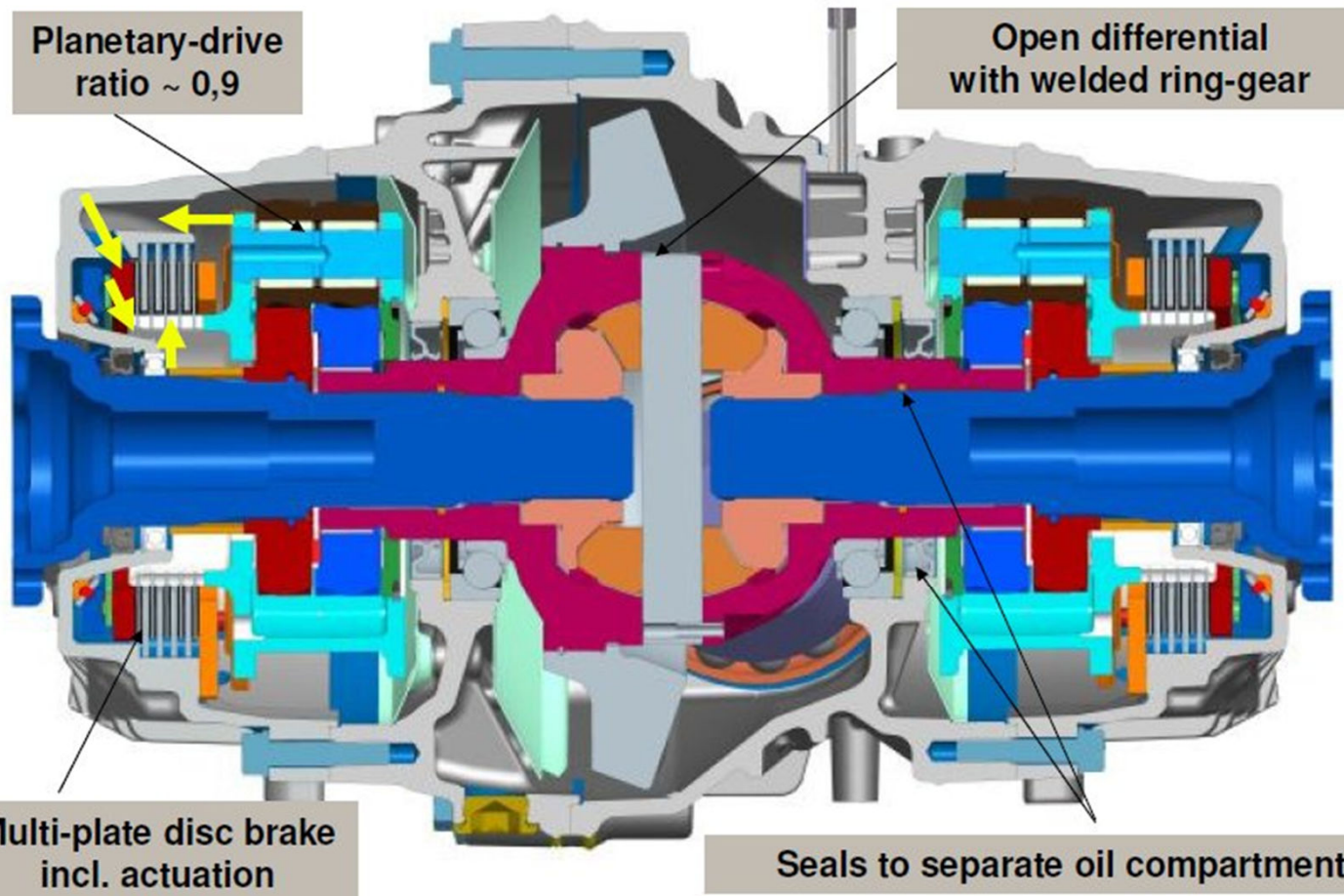


# Diferencial z usmerjanjem navora

- Prerez sestava:



**ZF Vector Drive**  
Design-Layout

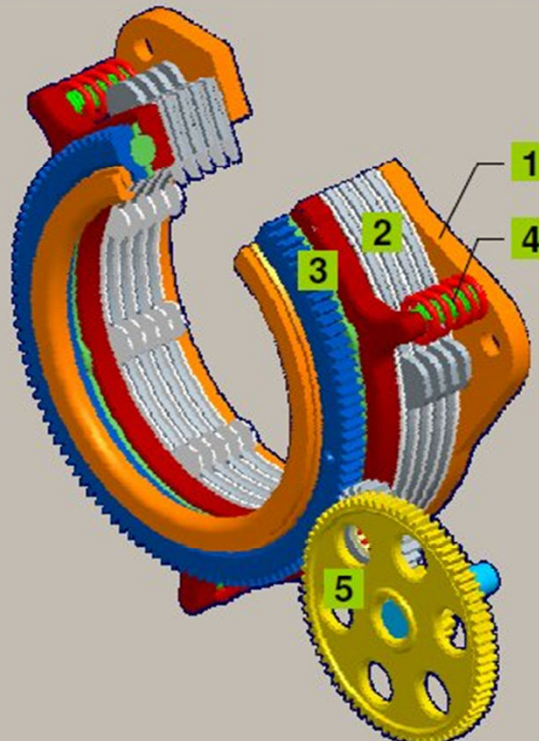


# Diferencial z usmerjanjem navora

- Aktivacija večlamelne zavore planetne gredi:



**ZF Vector Drive**  
Actuator-System



- 1 Support plate fixed to housing
- 2 Disc-brake with 10 friction faces
- 3 Ball-ramp mechanism
- 4 Fail-Safe-Springs
- 5 Reduction gearing

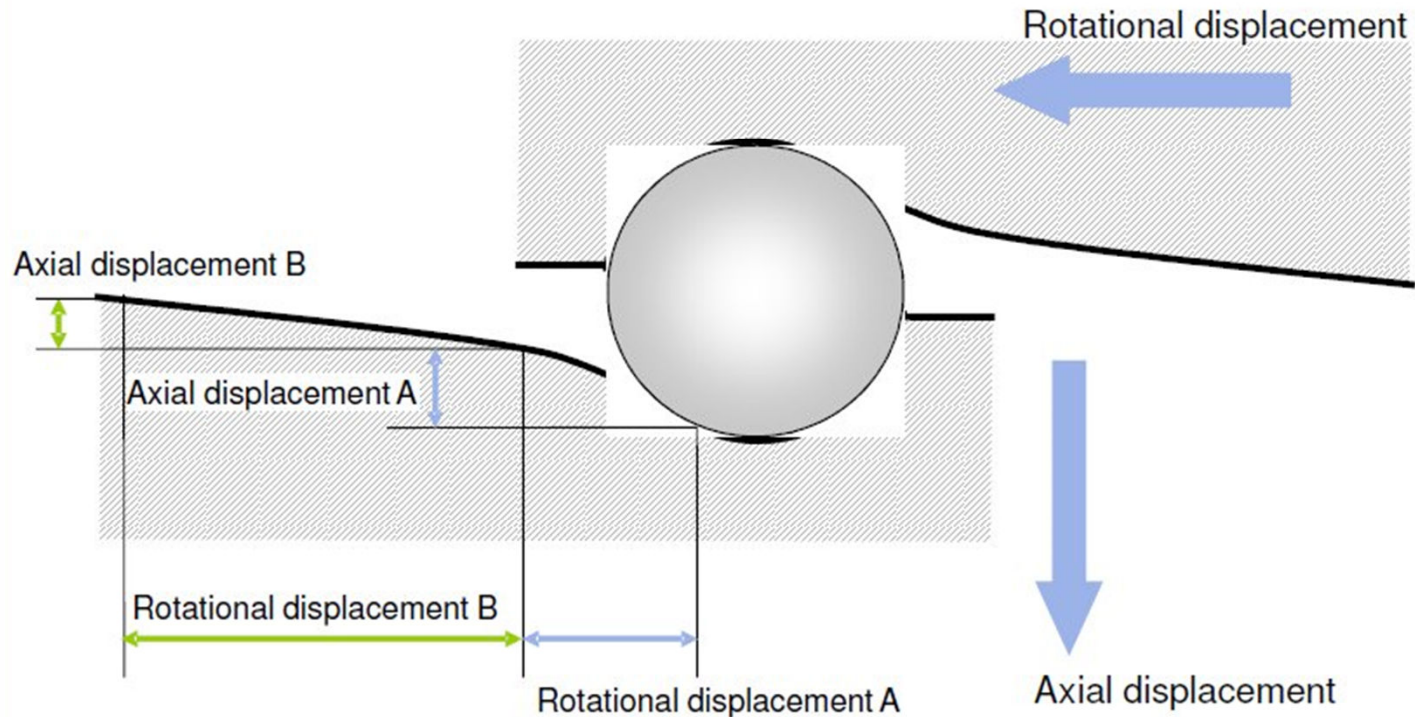


# Diferencial z usmerjanjem navora

- Aktivacija večlamelne zavore planetne gredi:



**ZF Vector Drive**  
Ball-Ramp with Variable Slope

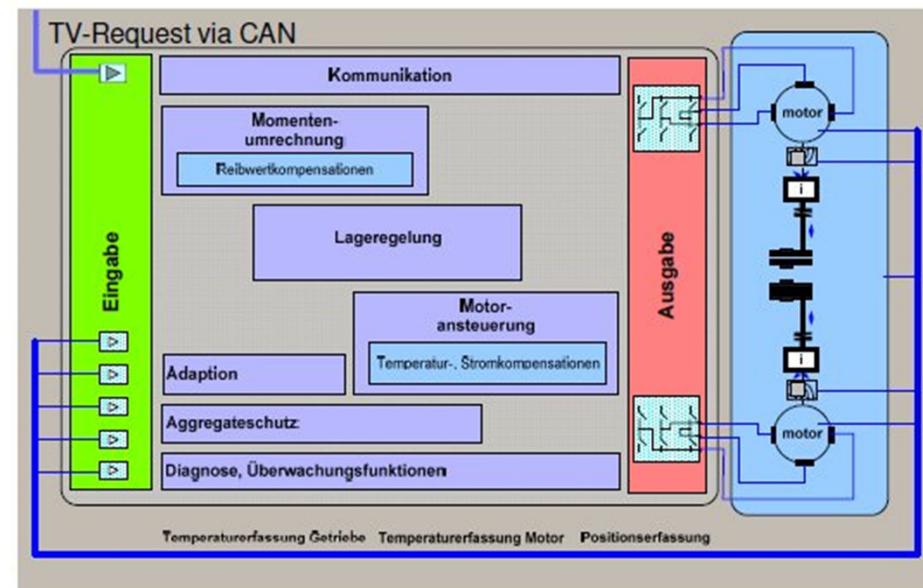


# Diferencial z usmerjanjem navora

- Diferencial z usmerjanjem navora je mehatronski sistem:



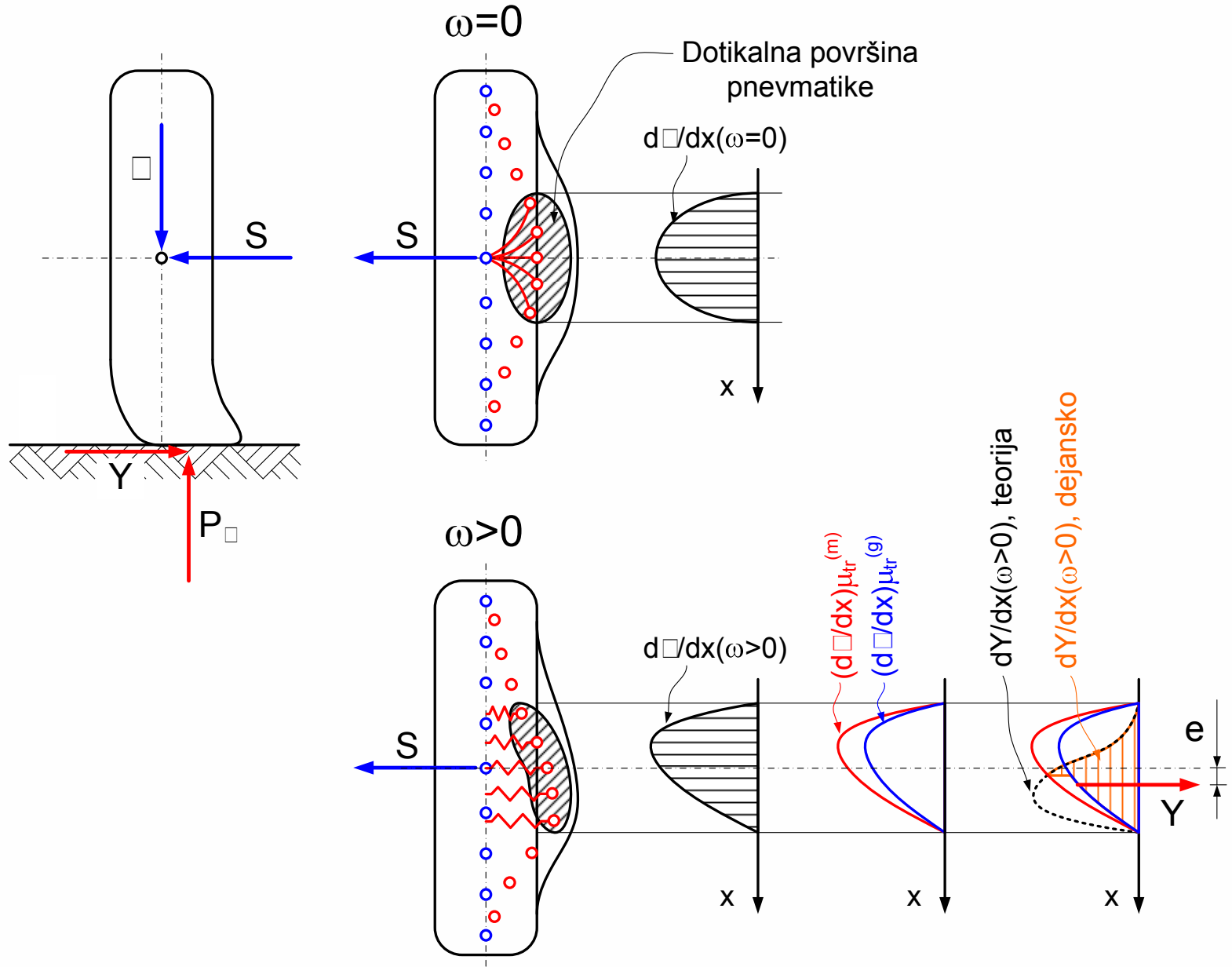
ZF Vector Drive  
Block diagram E/E-System



- control of the two asynchronous motors (power electronics included)
- clutch control by position control
- compensation of temperature, aging and production variances effects
- safety concept with diagnostic routines, redundancy functions and dual controller concept



# Bočna elastičnost pnevmatike



# Koeficient sojemanja za prečno silo in kot poševnega nakotaljevanja

$$M_s = Y \cdot e$$

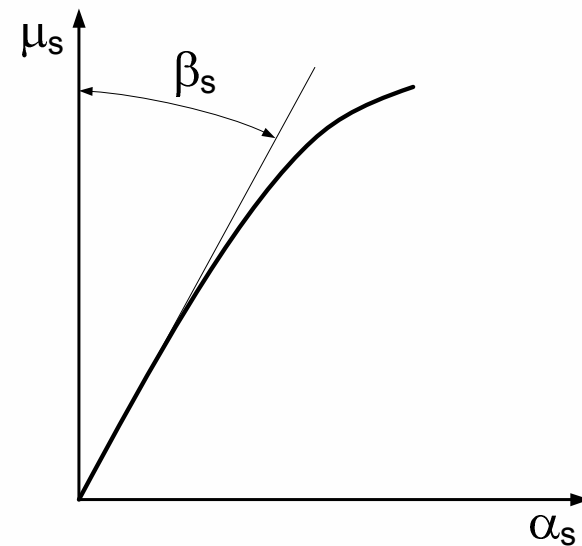
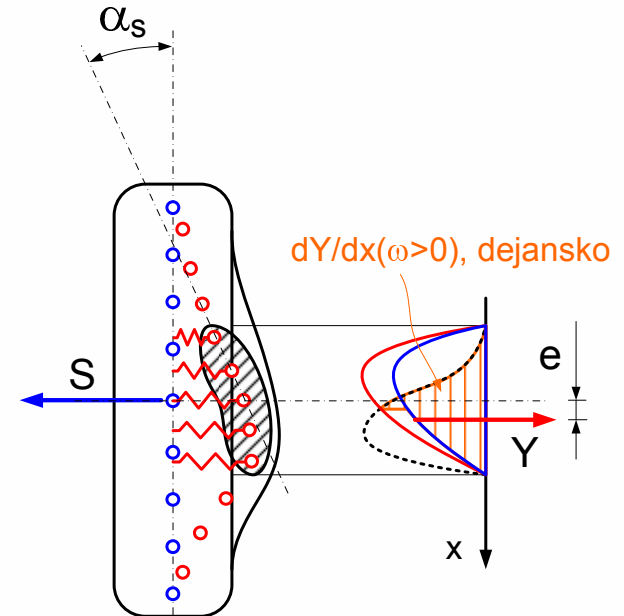
$\alpha_s$  ... kot poševnega nakotaljevanja

$$\mu_s = \frac{S}{Z}$$

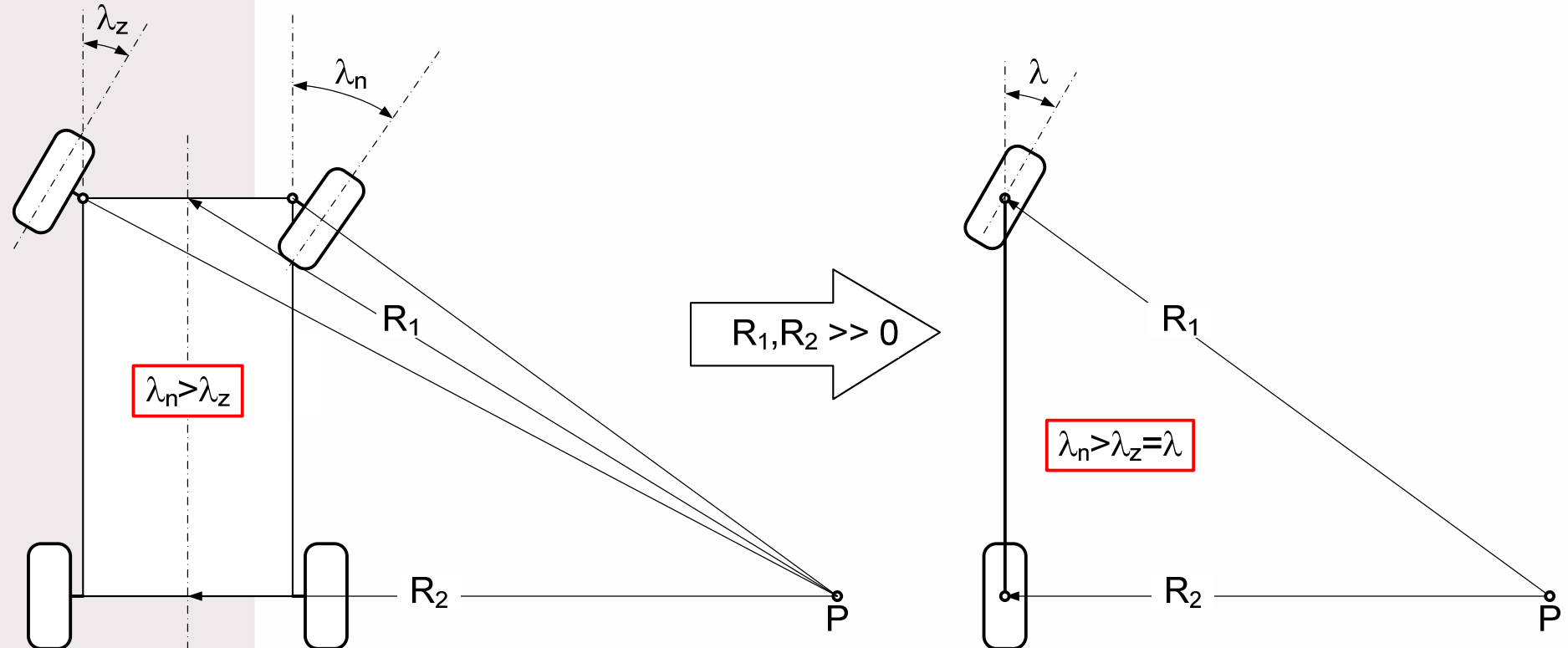
$\mu_s$  ... bočni koeficient sojemanja

$$c_s = \operatorname{tg} \beta_s = \frac{\alpha_s}{\mu_s}$$

$c_s$  ... bočna elastičnost pnevmatike



# Kot zasuka krmilnih koles pri vožnji v ovinek



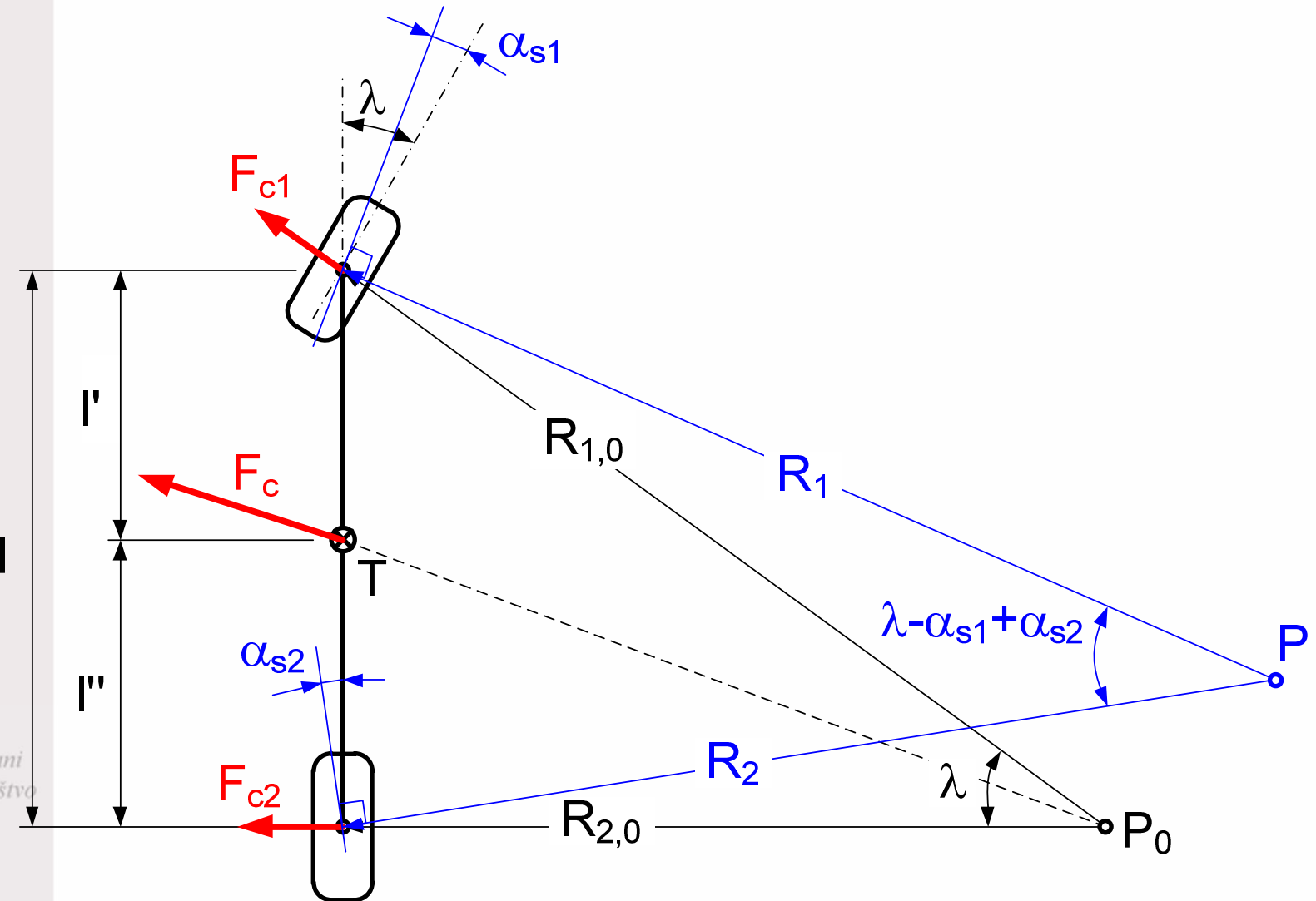
Univerza v Ljubljani  
Fakulteta za strojništvo



Katedra za strojne elemente  
in razvojna vrednotenja

$$\begin{aligned}\lambda \dots &\text{krmilni kot} \\ \lambda &= f(R)\end{aligned}$$

# Vpliv poševnega nakotaljevanja pri vožnji v ovinek



# Vpliv poševnega nakotaljevanja pri vožnji v ovinek

$$R_1, R_2 \gg 0 \Rightarrow R_1 \approx R_2 \approx R \Rightarrow F_{c1} \approx F_c \cdot \frac{l''}{l}; F_{c2} \approx F_c \cdot \frac{l'}{l}$$

$$F_c = m_v \cdot \frac{v^2}{R} = \frac{G}{g} \cdot \frac{v^2}{R}$$

$$\mu_s = \frac{F_c}{G} = \frac{1}{g} \cdot \frac{v^2}{R}$$

$$\mu_{s1} \approx \mu_{s2} \approx \mu_s$$

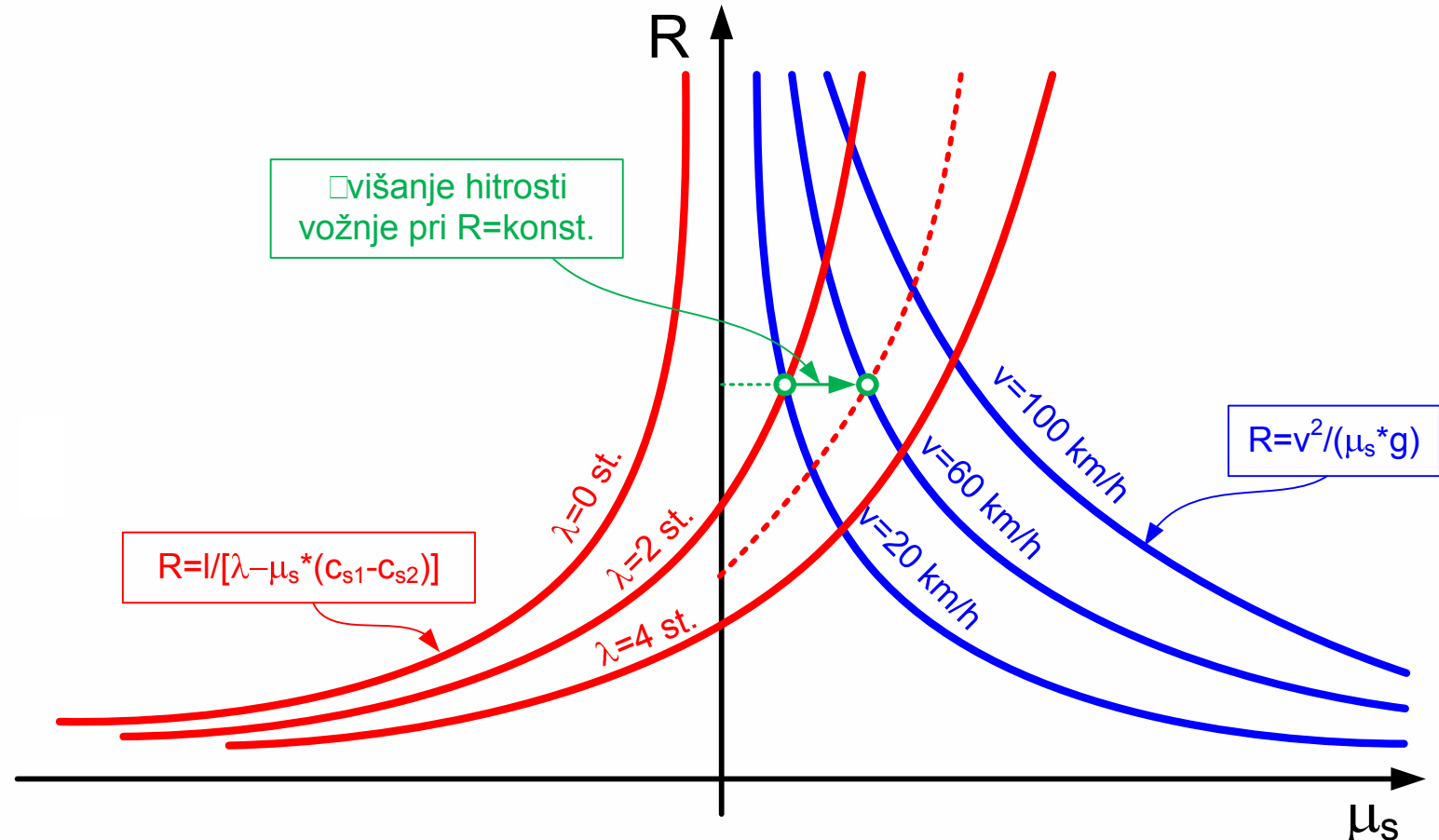
$$\alpha_{s1} = c_{s1} \cdot \mu_s$$

$$\alpha_{s2} = c_{s2} \cdot \mu_s$$

$$l = [\lambda - (\alpha_{s1} - \alpha_{s2})] \cdot R \Rightarrow R = \frac{l}{\lambda - \mu_s \cdot (c_{s1} - c_{s2})}$$

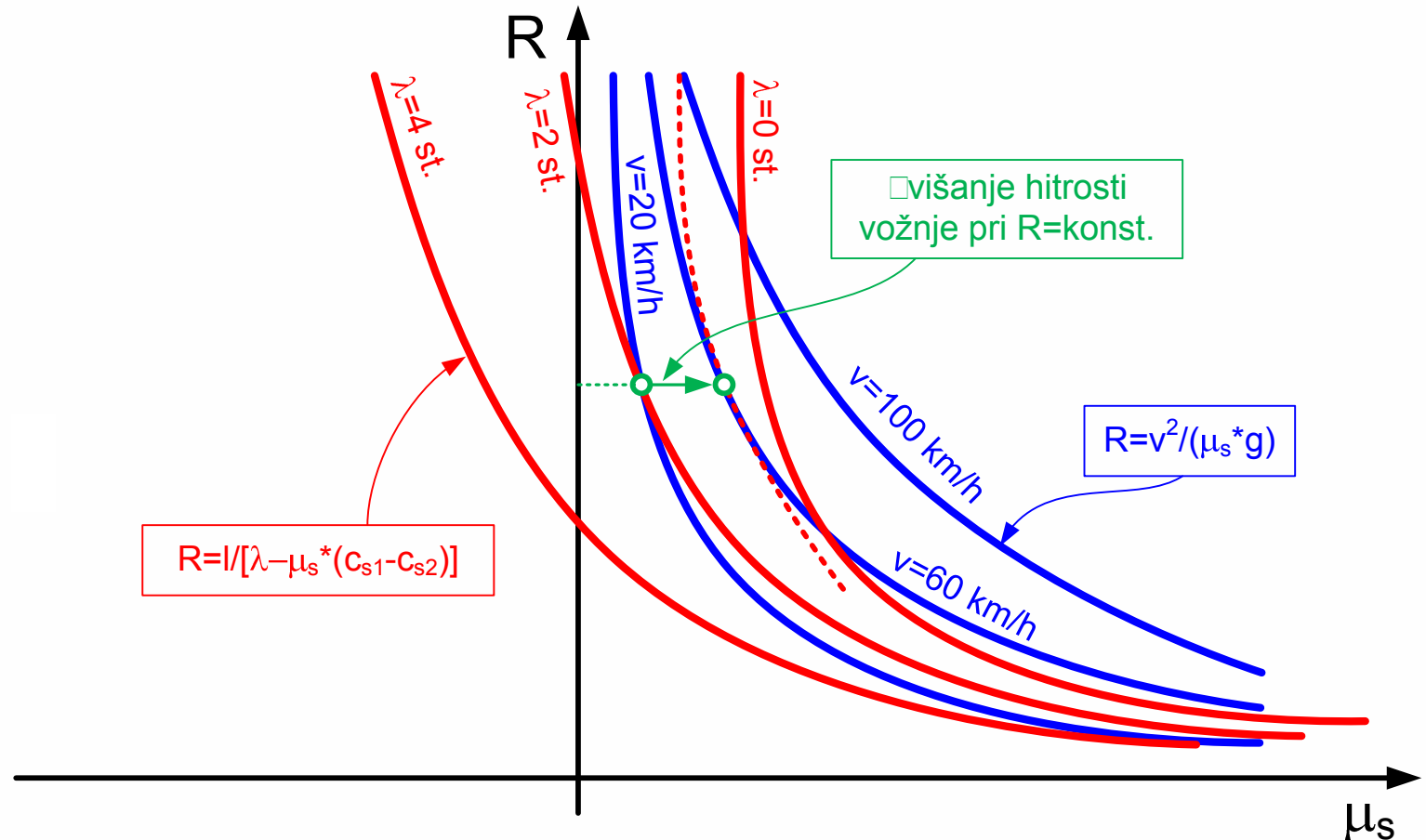


# Podkrmarjeno vozilo – $c_{s1} > c_{s2}$



Če se poveča hitrost vožnje v ovinek, je treba povečati krmilni kot  $\lambda$ .

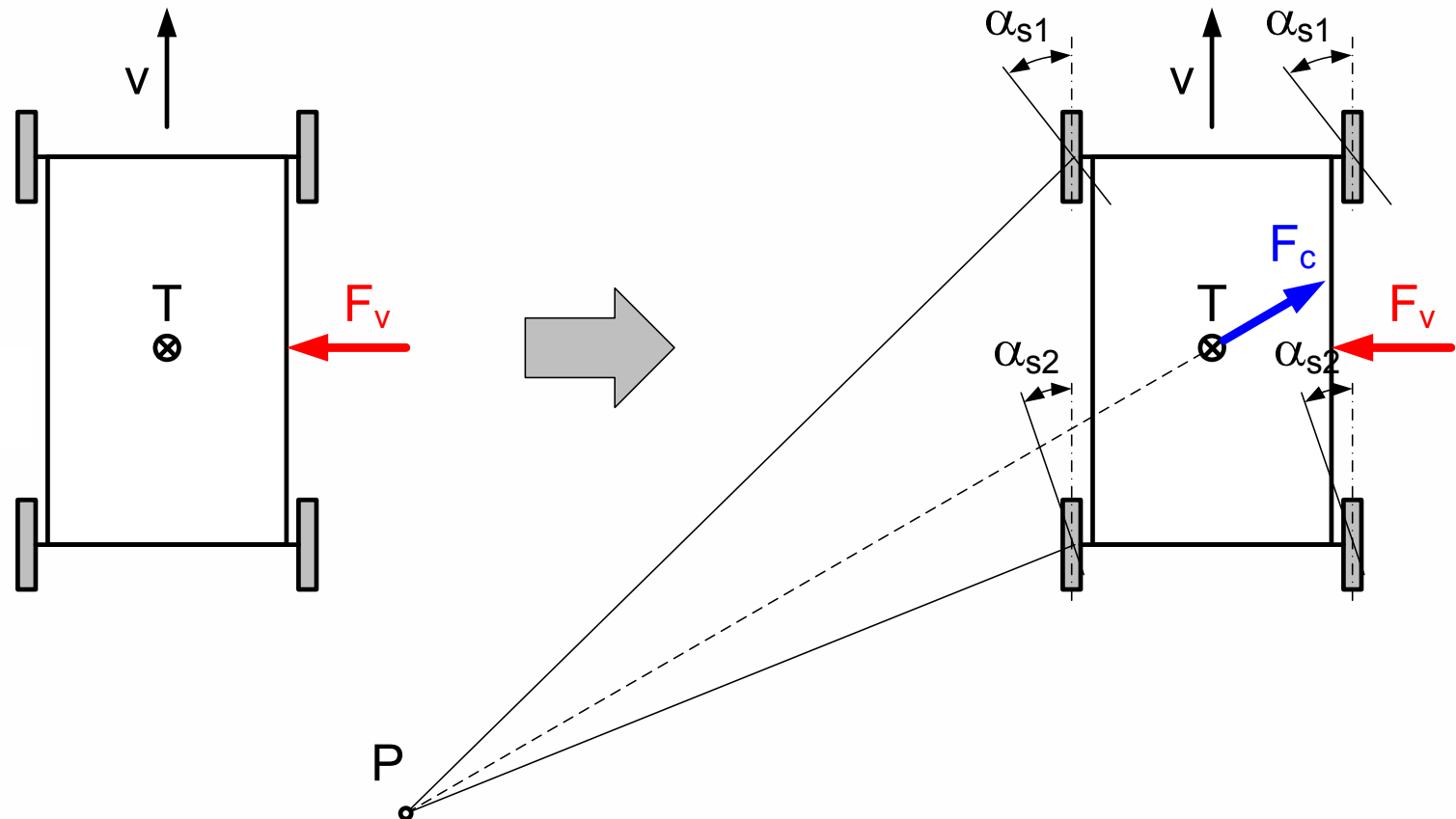
# Prekrmarjeno vozilo – $c_{s1} < c_{s2}$



Če se poveča hitrost vožnje v ovinek, je treba zmanjšati krmilni kot  $\lambda$ .

# Vpliv bočnega vetra

- Podkrmarjeno vozilo ( $c_{s1} > c_{s2}$ ):

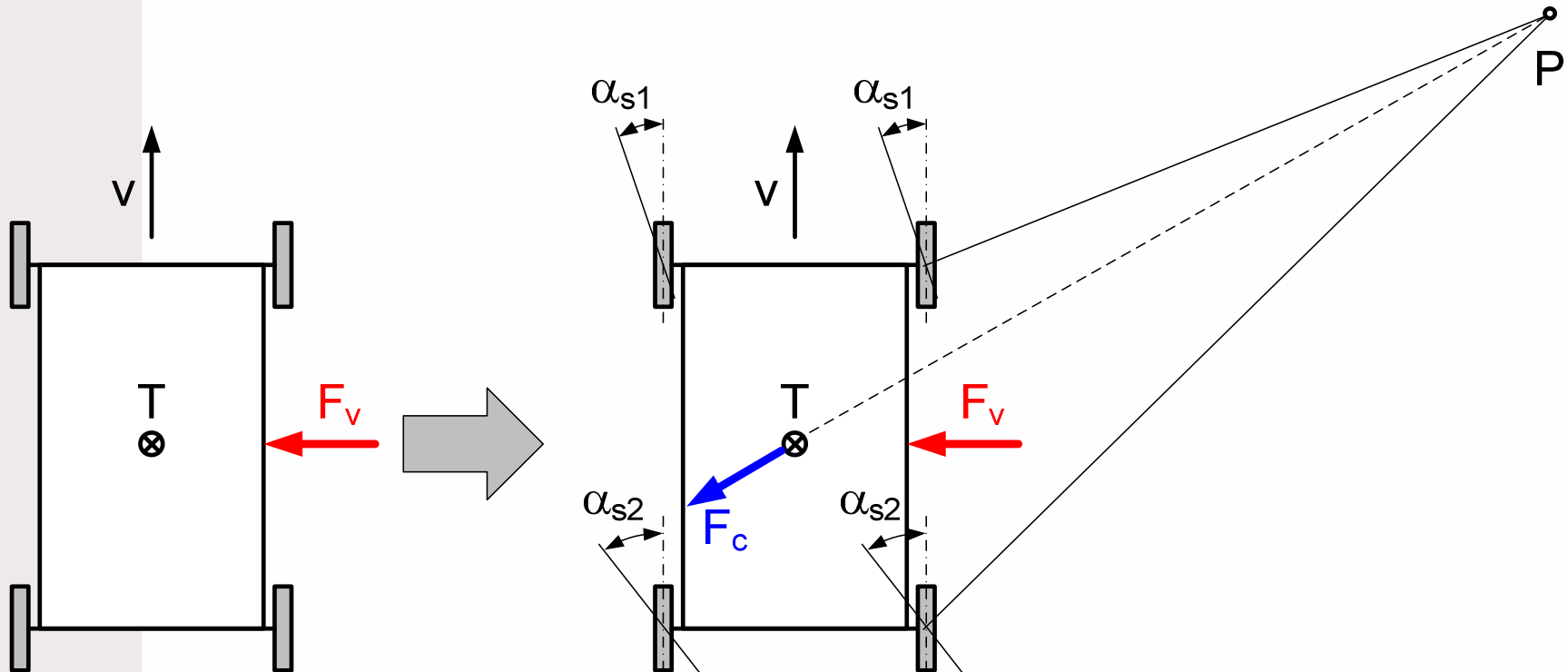


Centrifugalna sila stabilizira silo vетра.



# Vpliv bočnega vetra

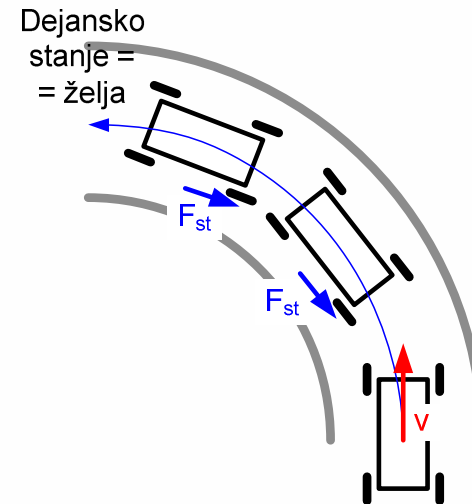
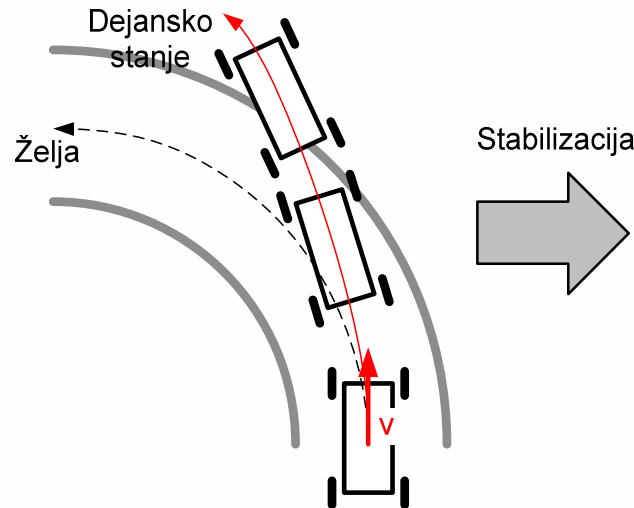
- Prekrmarjeno vozilo ( $c_{s1} < c_{s2}$ ):



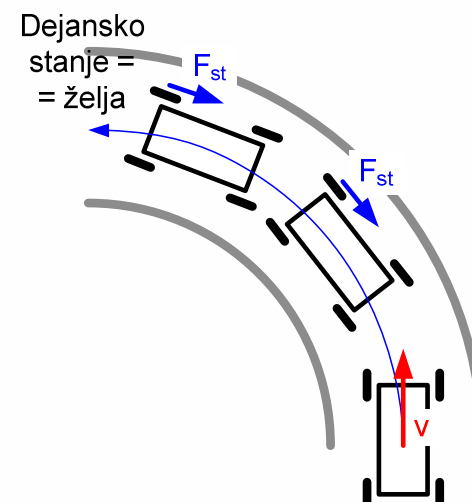
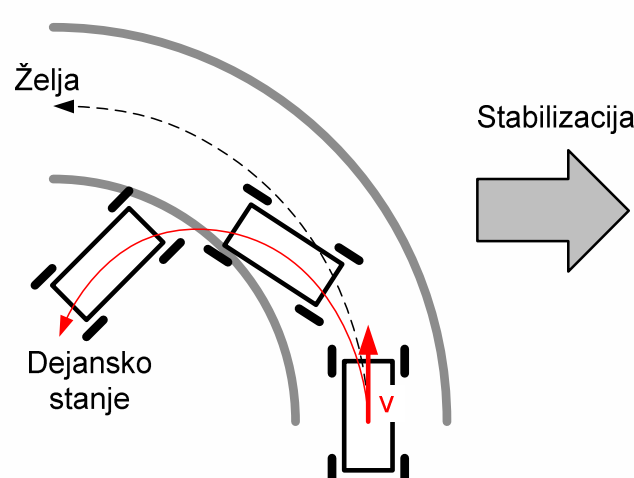
Centrifugalna sila destabilizira silo vetra.

# Stabilizacija vozila pri vožnji v ovinek z veliko hitrostjo

## ■ Podkrmarjeno vozilo:



## ■ Prekrmarjeno vozilo:



## Kritična hitrost prekrmarjenega vozila

- Kritična hitrost prekrmarjenega vozila je tista hitrost, pri kateri je vozilo ob minimalni bočni motnji (npr. sunek vetra) sposobno voziti v ovinek brez zasuka krmilnih koles:

$$c_{s2} > c_{s1}$$

$$\lambda = 0; R > 0$$

$$\mu_s = \frac{1}{g} \cdot \frac{v^2}{R} \Rightarrow R = \frac{1}{g} \cdot \frac{v^2}{\mu_s}$$

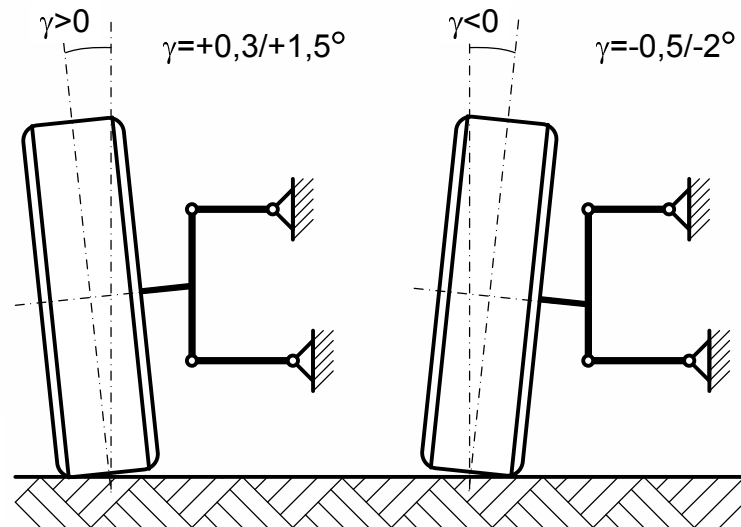
$$R = \frac{1}{g} \cdot \frac{v_{krit}^2}{\mu_s} = \frac{l}{-\mu_s \cdot (c_{s1} - c_{s2})}$$

$$v_{krit} = \sqrt{\frac{l \cdot g}{c_{s2} - c_{s1}}}$$



# Postavitev vodilnih koles vozila

## ■ Previs kolesa:

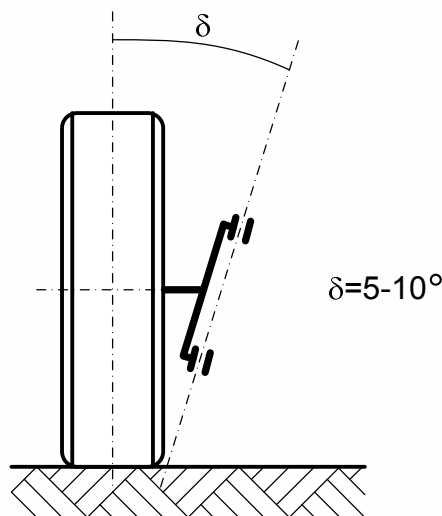


■ Izniči zračnost v ležajih.

■ Pozitivni previs zmanjšuje stranske vodilne sile pri vožnji v ovinek.

■ Negativni previs izboljšuje stransko vodenje pri vožnji v ovinek.

## ■ Prečni nagib premnega sornika:



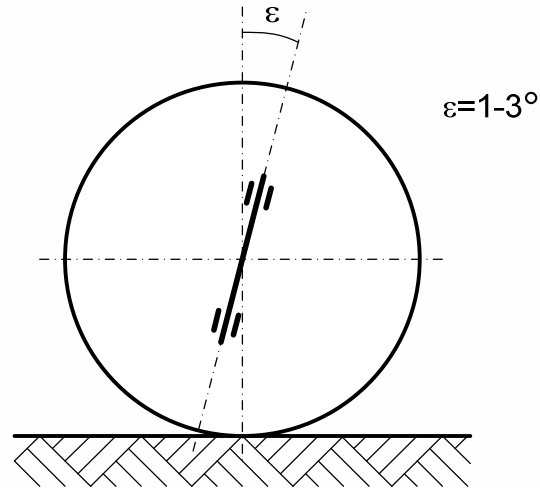
■ Povzroči dviganje prednjega dela vozila pri zasuku vodilnih koles.

■ Posledica je samodejno vzpostavljanje položaja koles za vožnjo naravnost, če voznik izpusti volan.



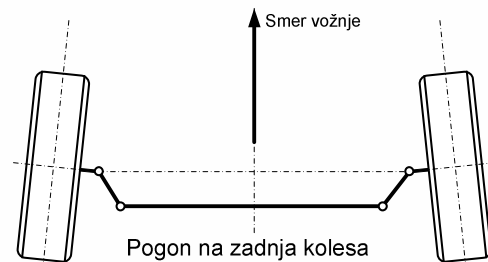
# Postavitev vodilnih koles vozila

- Vzdolžni nagib premnega sornika (kot zaostajanja):

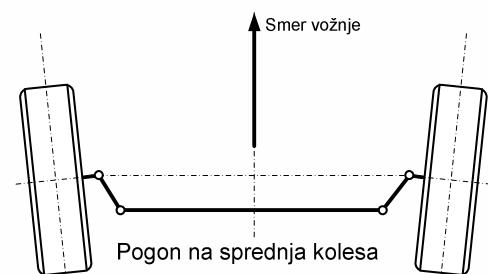


- Kot zaostajanja kolesa usmeri tako, da dosežemo stabilnost zasukanih koles.

- Stekanje/raztekanje koles:



- Napenja pnevmatike in drogovje krmilnega mehanizma.
- □manjšuje opletanje koles.



## Seznam literature

- Granzow C.: □F Vector Drive – better driving dynamics and driving safety through Torque Vectoring. Praktischer Entwurf mechatronischer Systeme, Karlsruhe 13.12.2013.
- Lewis R., Olofsson U. (editors): Wheel-rail interface handbook. Boca Raton: Woodhead Publishing in Mechanical Engineering, 2009.
- Wong J.Y.: Theory of Ground Vehicles, 3rd edition. New York: John Wiley & Sons, 2001.
- Simić D.: Motorna vozila. Beograd: Naučna knjiga, 1988.
- Janičijević N., Janković D., Todorović J.: Konstrukcija motornih vozila. Beograd: Mašinski fakultet, 1979.
- Goljar M.: Motorna vozila, osnove konstruiranja. Ljubljana: Fakulteta za strojništvo, 1977.

